

ŠKODA, koncernový podnik, PLZEŇ  
ÚSTŘEDNÍ VÝZKUMNÝ ÚSTAV  
Výzkum strojírenský

"Duševní majetek k.p. ŠKODA - nelze využít bez jeho souhlasu"

Doc. RNDr. Jindřich Nečas, DrSc. MDT: 519.3:539.383  
Ing. RNDr. Ivan Hlaváček, CSc.  
RNDr. Jaroslav Heslinger, CSc.  
RNDr. Jan Mandel, CSc.  
Ing. Tomáš Roubíček  
RNDr. Štěpán Zámečník, CSc.

Optimalizace termoelasticích  
systémů  
část III

Zakázkové číslo: 715-092-3019/7

Odpovědný pracovník: RNDr. L. Prášek, CSc. Číslo zprávy: Sz 4482V  
Vedoucí střediska: Ing. V. Hauer, CSc. Druh zprávy : průběžná  
Vedoucí odboru: Ing. M. Balda, CSc. Číslo kopie :  
Ředitel ústavu: Ing. Z. Kletečka, CSc. 8

Stran: 86

Tabulek: 1

Obrázků: 4

V Plzni, prosinec 1985

A n o t a c e

MDT: 519.3:539.383  
Nečas J., RNDr., Doc., CSc.  
Hlaváček I., RNDr., Ing., CSc.  
Haslinger J., RNDr., CSc.  
Mandel J., RNDr., CSc.  
Roubíček T., Ing.  
Zámečník Š., RNDr., CSc.

Sz 4482 V

Optimalizace termoelastických systémů - část III

Hlzen, ŠKODA - ÚVZÚ-VS, 1985

86 stran, 1 tabulka, 4 obrázky

V teoretické části je dokázána konvergence přibližných řešení optimalizační úlohy k řešení původní úlohy optimalizace. V praktické části jsou sestaveny a odlehčeny programy výpočtu přímé termoelastické úlohy a automatické generování triangulací pro optimalizační algoritmus. Další kapitola obsahuje nový infinitesimální model optimalizačního problému.

prosinec 1985

O b s a h

list

1. Numerická realizace úlohy optimálního návrhu . . . . .	4
1.1 Operátor A - sestavení triangulace . . . . .	5
1.2 Operátor A - termoelastické rovnice . . . . .	7
1.3 Cenový funkcionál j . . . . .	12
1.4 Optimalizační algoritmus . . . . .	14
1.5 Implementační poznámky . . . . .	19
1.6 Popis vstupních dat . . . . .	22
2. Analýza konvergence přibližných řešení optimalizační úlohy . . . . .	29
3. Abstraktní teorie řešení úloh optimálního návrhu oblastí a jejich approximace . . . . .	58
4. Výpočet gradientu účelové funkce úlohy optimalizace kruhových otvorů . . . . .	69
5. Závěr . . . . .	85
Literatura . . . . .	86

### 1. Numerická realizace úlohy optimálního návrhu

Budeme se zabývat optimalizační úlohou ve tvaru:

$$\begin{aligned} & \text{minimalizovat } j(x) \\ & \text{za podmínek } x = A(u), \quad u \in U. \end{aligned} \quad \left. \right\} (1.1)$$

$u \in \mathbb{R}^7$  bude vektor návrhových proměnných, který bude mít (při využití symetrie úlohy) 7 složek: souřadnice a poloměry dvou chladicích otvorů a teplotu chladící kapaliny;  $U \subset \mathbb{R}^7$  bude množina přípustných návrhových proměnných;  $x \in \mathbb{R}^m$  bude stav úlohy, za který budeme považovat rozložení teploty a redukovaného termoelastického napětí (podle Hencki - Miezes - Huber) v tělese;  $A: \mathbb{R}^7 \rightarrow \mathbb{R}^m$  bude operátor přiřazující návrhovým proměnným příslušný stav; a nakonec  $j: \mathbb{R}^m \rightarrow \mathbb{R}$  bude cenový funkcionál. Úloha (1.1) bude řešena optimalizačním algoritmem. Pro jednoduchost bude množina  $U$  popsána pouze tzv. triviálními omezeními, tj.  $U = \{u \in \mathbb{R}^7; u_i^{\min} \leq u_i \leq u_i^{\max}; \forall i=1, \dots, 7\}$ , jejichž začlenění do optimalizačního algoritmu je naprosto bez problémů. Hodnoty  $u^{\min}, u^{\max}$  jsou určeny buď konstrukčními omezeními, nebo požadavkem, aby nedošlo k degeneraci triangulace sestavené podle vektoru  $u \in U$ . V následujícím popíšeme podrobněji realizaci operátoru  $A$  (tj. sestavení triangulace a řešení termoelastických rovnic metodou konečných elementů s lineárním trojúhelníkovým prvkem), volbu cenového funkcionálu a optimalizační algoritmus. Zároveň budou uvedeny výsledky modelového příkladu.

### 1.1 Operátor A - sestavení triangulace

Tato část výpočtu je realizována podprogramem TRIANG.

Při jeho prvním vyvolání se provedou následující činnosti:

1. Pomocí podprogramu GRID (viz předešlá zpráva) se sestaví triangulace referenční oblasti  $\hat{\Omega}$ , znázorněná na obr. 1.1. Jednotlivé podoblasti (číslované podtrženě) se trianguluji rovnoměrně, tj. rozdelením stran na počet stejných dílků (počet je zadán v datech; obr. 1.3, odstavec 5), a vzniklé čtyřúhelníky se rozdělí vždy na dva trojúhelníky kratší úhlopříčkou.

2. Sestaví se seznamy hraničních uzlů pro všechny okrajové podmínky.

3. Přečtou se souřadnice hraničních zadávacích bodů 1 až 8 oblasti  $\Omega_u$  (viz data, obr. 1.3, odstavec 6, a obr. 1.2).

4. Oblast  $\hat{\Omega}$  se transformuje do oblasti  $\Omega_u$ , zadáné souřadnicemi osmi hraničních bodů, souřadnicemi středů a poloměry otvorů takto:

a) Podoblasti 1 až 8, které mají v referenční oblasti  $\hat{\Omega}$  tvar lichoběžníka, přejdou na podoblasti oblasti  $\Omega_u$  podle obr. 1.4.

b) Podoblast 9 se transformuje bilineárně.

Při této transformaci přejdou uzly referenční triangulace na uzly v oblasti  $\Omega_u$ . Na těchto uzlech se definuje triangulace podle incidence v triangulaci oblasti  $\hat{\Omega}$ , tj. pole  $L$ , které obsahuje seznam čísel trojic uzlů tvořících trojúhelníky, se nemění.

5. Triangulace oblasti  $\Omega_u$  se reorganizuje tak, aby vždy dva sousední trojúhelníky vzniklé rozdelením čtyřúhelníka (před transformací) byly odděleny jeho kratší úhlopříčkou (po transformaci).

6. Uzly se přečíslují tak, aby šířka polopásu matice tuhosti byla co nejmenší. Nejdříve se uzly přečíslují lexikografickým uspořádáním podle souřadnic (podprogram SEZNAØ) a pak se volá (NOPTIM-1) - krát podprogram SEZNAL (viz předešlá zpráva).

Přemazání lexikografického uspořádání bylo vynuceno tím, že na použité triangulaci se složitou incidenční strukturou není SEZNAL příliš efektivní bez tohoto předběžného přečíslování. Experimentálně bylo zjištěno, že NOPTIM>2, tj. opakování vyvolání SEZNAL, již šířku polopásu dále nezměnuje.

NOPTIM se zadává v odstavci 7 dat.

Při každém dalším vyvolání podprogramu TRIANG se provede pouze bod 4, tj. transformace souřadnic uzelů z  $\hat{\Omega}$  do  $\Omega_u$ .

Vhodnou volbou nelineární transformace  $\hat{\Omega}$  na  $\Omega_u$  bylo dosaženo toho, že triangulace se v okolí otvorů zjemňuje, a vnitřní úhly trojúhelníků nedegenerují k nule.

Při koncepci tohoto programu jsme počítali s tím, že by mohlo být vhodné přidat další uzly a trojúhelníky k lepšímu vystižení tvaru odlitku. Toto lze provést snadnou úpravou programu; podrobný návod k této úpravě je vložen na příslušném místě programu jako komentář.

## 1.2 Operátor A -termoelastické rovnice

Na triangulaci sestavené podle předchozího odstavce se řeší metodou konečných elementů s lineárním prvkem rovnice termoelasticity. Všechny koeficienty budou uvažovány konstantní. Uvedeme zde rovnice ve slabé formulaci.

Rovnice vedení tepla:

$$\text{hledá se } \vartheta \in H^1(\Omega) ; \quad \vartheta - \vartheta_0 \in V_t ,$$

$$\int_{\Omega} \alpha \nabla \vartheta \cdot \nabla w dx + \int_{\Gamma_3} \alpha \vartheta n w ds = \int_{\Gamma_2} \gamma w ds + \int_{\Gamma_3} \alpha \bar{\vartheta}_{\text{okolí}} w ds \quad \forall w \in V_t ,$$

$$V_t = \{ w \in H^1(\Omega) ; \quad w|_{\Gamma_1} = 0 \} .$$

Vidíme tedy, že na části hranice  $\Gamma_i$  (viz obr 1.2) jsou předepsány okrajové podmínky i-tého druhu,  $i = 1, 2, 3$ .

Na částech  $\Gamma_4, \Gamma_5$  jsou z důvodu symetrie předepsány homogenní Neumannovy podmínky.

Rovnice elasticity:

$$\text{hledá se posunutí } u \in (H^1(\Omega))^2 ; \quad u \in V_e$$

$$\int_{\Omega} \sum_{i,j=1}^2 \bar{\tau}_{ij}(u, \vartheta, \varepsilon_z) \varepsilon_{ij}(v) dx = 0 \quad \forall v \in V_e ,$$

$$V_e = \{ u = (u_1, u_2) \in (H^1(\Omega))^2 , \quad u_1|_{\Gamma_4} = 0 , \quad u_2|_{\Gamma_5} = 0 \}$$

$$\begin{aligned} \bar{\tau}_{ij}(u, \vartheta, \varepsilon_z) &= \frac{E}{1+\sigma} (\varepsilon_{ij}(u) + \frac{G}{1-2\sigma} (\varepsilon_{11}(u) + \\ &+ \varepsilon_{22}(u) + \varepsilon_z) \delta_{ij} - \frac{1+\sigma}{1-2\sigma} \alpha_z \vartheta \delta_{ij}) . \end{aligned}$$

Význam koeficientů je uveden níže.

Vidíme tedy, že na částech hranice  $\Gamma_4, \Gamma_5$  jsou předepřány homogenní Dirichletovy podmínky pro posunutí v normálových směrech. Tyto podmínky vznikají ze symetrie a zabezpečují koercivitu úlohy. Na zbylé části hranice jsou předepřány homogenní Neumannovy podmínky (tj. tlak taveniny, chladící kapaliny, a atmosferický tlak se zanedbává). Uvažuje se, že forma je nekonečná ve směru kolmému k uvažovanému řezu,  $\epsilon_{zz}$  označuje deformaci v tomto směru ( $\epsilon_{zz}$  je konstantní). Tenzor deformace má tedy tvar

$$\epsilon = \begin{pmatrix} \epsilon_{11} & \epsilon_{12} & 0 \\ \epsilon_{21} & \epsilon_{22} & 0 \\ 0 & 0 & \epsilon_{zz} \end{pmatrix}, \quad \epsilon_{ij} = \epsilon_{ij}(v)$$

a tenzor napětí má tvar

$$\tau = \begin{pmatrix} \tau_{11} & \tau_{12} & 0 \\ \tau_{21} & \tau_{22} & 0 \\ 0 & 0 & \tau_z \end{pmatrix},$$

$$\tau_{ij} = \tau_{ij}(u, v, \epsilon_{zz})$$

$$\tau_z = \tau_z(u, v, \epsilon_{zz}) =$$

$$= \frac{E}{1+\sigma} \left( \epsilon_{zz} + \frac{G}{1-2\sigma} (\epsilon_{11}(u) + \epsilon_{22}(u) + \epsilon_{zz}) - \frac{1+G}{1-2\sigma} \alpha_z v \right)$$

Tepelné namáhání se posuzuje podle redukovaného napětí (Henckii - Huber - Miezes):

$$\tau_{\text{red}} = \left( \frac{1}{2} ((\tilde{\tau}_1 - \tilde{\tau}_2)^2 + (\tilde{\tau}_2 - \tilde{\tau}_3)^2 + (\tilde{\tau}_3 - \tilde{\tau}_1)^2) \right)^{1/2},$$

kde  $\tilde{\tau}_i$  jsou vlastní čísla (tzv. hlavní napětí) tenzoru  $\tau$ , jež lze vzhledem ke speciálnímu tvaru tohoto tenzoru snadno spočítat. Zbývá určit  $\epsilon_{\pm}$ . Mohli bychom zvolit  $\epsilon_{\pm} = 0$ , což by odpovídalo situaci, že forma je v nekonečnu upnutá. Daleko realističejší se však zdá situace, že forma je v nekonečnu volná. Tomu odpovídá takové  $\epsilon_{\pm}$ , pro které je výsledná síla působící ve směru kolmém na uvažovaný řez rovna nule, tj.

$$F(\epsilon_{\pm}) = \int_{\Omega} \tau_{\pm} (\cdot, \cdot, \epsilon_{\pm}) = 0.$$

Protože  $F(\cdot)$  je lineární funkci, můžeme rovnici  $F(\epsilon_{\pm}) = 0$  vyřešit numericky tak, že řešíme výše uvedené rovnice pro  $\epsilon_{\pm}^{(1)}$  a  $\epsilon_{\pm}^{(2)}$ , a potom vypočteme  $\epsilon_{\pm} = (F(\epsilon_{\pm}^{(1)}) \cdot \epsilon_{\pm}^{(2)} - F(\epsilon_{\pm}^{(2)}) \epsilon_{\pm}^{(1)}) / (F(\epsilon_{\pm}^{(1)}) - F(\epsilon_{\pm}^{(2)}))$ . Stačí tedy řešit rovnice elasticity pro tři pravé strany. Protože se ale v našem případě může forma volně roztahovat (nejen ve směru kolmém na řez, ale i ve všech ostatních směrech), můžeme v elastických rovnicích uvažovat "posunutou" teplotu  $\bar{\vartheta} = \vartheta + \vartheta_{\text{kore}}$  aniž se přitom změní tenzor napětí ( $\vartheta_{\text{kore}}$  je konstantní). Numerické experimenty ukazují, že zvolíme-li  $\epsilon_{\pm} = 0$  a korekci  $\vartheta_{\text{kore}}$  tak, aby

$$\int_{\Omega} \bar{\vartheta} dx = 0 \quad (\text{tedy } \vartheta_{\text{kore}} = -\frac{1}{\text{meas } \Omega} \int_{\Omega} \vartheta dx),$$

dostaneme  $F(\epsilon_{\pm}) = 0$  (s přesností stroje!). Pak ovšem stačí řešit rovnice elasticity jen pro jednu pravou stranu.

(Různé alternativy výpočtu řídí proměnná  $i_{\pm}$ , viz podprogram TE).

Diskretizované rovnice dostaneme tak, že místo prostorů  $V_h$  a  $V_{\epsilon}$  vezme jejich podprostory tvořené po částech lineárními funkcemi na zvolené triangulaci. Nebudeme zde uvádět vzniklé rovnice, neboť se jedná o standardní postup. Bylo přitom použito algoritmů z již dříve užitého programu KACMET a z knihy J. Valenta et al.: Novodobé metody výpočtů tuhosti a pevnosti ve strojírenství (SNTL, Praha, 1975).

Příslušné výpočty (tj. sestavení matice vodivosti a tuhosti, sestavení pravé strany rovnice pro teplotu, výpočet teploty a tepelného zatížení, řešení rovnice pro elasticcká posunutí, výpočet deformace, napětí a redukovaného napětí) spolu s jednoduchými výpočty plynoucími z odstavce 4.3 jsou realizovány podprogramem TE, kde jsou též dostatečně komentovány. Podprogram TE volá pouze knihovní podprogram MCHB (knihovna SSP implementovaná na počítačích IBM a EC), který řeší soustavy lineárních algebraických rovnic se symetrickou pásovou maticí metodou Choleskiho dekompozice. Podprogram MCHB se používá pro rovnice vedení tepla i elasticity. Správnost podprogramu TE byla testována na čtverci. Okrajové podmínky pro rovnici vedení tepla byly vedeny tak, aby řešení vycházelo lineární na celé oblasti. Potom pro konstatní (nulovou nebo nenulovou) teplotu byly testovány rovnice elasticity pro takové okrajové podmínky, aby posunutí vycházelo lineární na celé oblasti. Pak je tenzor deformace i napětí konstantní (celkem bylo otestováno 6 takových eventualit).

Význam označení a hodnoty použité v modelovém příkladu jsou následující:

$\alpha$  - tepelná vodivost,  $\alpha = 40 \text{ kg m}^{-3} \text{ K}^{-1}$ ;

$\alpha$  - součinitel přestupu teplota konvekci (mezi formou a okolím),  $\alpha = 30 \text{ W m}^{-2} \text{ K}^{-1}$ ;

$\bar{V}_o$  - teplota chladící kapaliny (sedmá složka vektoru návrhových proměnných v úloze (1.1));

$\bar{V}_{okolí}$  - teplota okolí formy,  $\bar{V}_{okolí} = 20^\circ\text{C}$

$\gamma$  - výsledky identifikace toků přes hranici  $\Gamma_2$

(viz předchozí výzk. zprávy),  $\gamma = \text{konst.} = 1,3 \cdot 10^5 \text{ kg s}^{-3}$

$E$  - Youngův modul pružnosti,  $E = 2 \cdot 10^{11} \text{ kg m}^{-1} \text{ s}^{-2}$ ;

$\sigma$  - Poissonova konstanta,  $\sigma = 0,3$ ;

$\alpha_t$  - koeficient teplotní roztažnosti,  $\alpha_t = 10^{-5} \text{ K}^{-1}$ .

Zmiňme se ještě o jednom zjednodušení, totiž Dirichletovy podmínky jsou v podprogramu TE uvažovány pouze homogenní. To u elastických rovnic nepřináší žádná omezení, a u rovnice vedení tepla užijeme toho, že pravá strana v Dirichletových podmínkách je konstantní ( $= \bar{V}_o$ ) a "posunutím" teploty o konstantu se nezmění tenzor napětí. Pak zřejmě "posunutím" teploty  $-\bar{V}_o$  získáme homogenní Dirichletovy podmínky. To je realizováno před vyvoláním podprogramu TE v programu "F" posunutím  $\bar{V}_{okolí}$  a  $\bar{V}_d$  (viz následující odst.).

### 1.3 Cenový funkcionál

Na volbě cenového funkcionálu podstatně závisí úspěšnost úlohy optimálního návrhu. Bylo uvažováno

$$j(\bar{\sigma}, \bar{\tau}_{red}) = \int_{\Omega} \bar{\tau}_{red}^r dx + k \int_{\Gamma_2} |\bar{\sigma} - \bar{\sigma}_d|^s ds$$

Zkušenosti s podobnými úlohami ukazují, že minimalizací  $j$  ve výše uvedeném tvaru dochází k zmenšení  $\bar{\tau}_{red}$  a  $|\bar{\sigma} - \bar{\sigma}_d|_{\Gamma_2}$  v  $L^\infty$  normách. Snížení  $\|\bar{\tau}_{red}\|_{L^\infty(\Omega)}$  má význam pro zvětšení životnosti formy. Význam  $\bar{\sigma}_d$  může být dvojí: buď je  $\bar{\sigma}_d$  požadovaná teplota na  $\Gamma_2$ , která je důležitá z hlediska tuhnutí taveniny ve formě, nebo je  $\bar{\sigma}_d$  teplota na  $\Gamma_2$  při výchozím návrhu. Při této druhé možnosti se dá předpokládat, že  $\bar{\sigma}|_{\Gamma_2}$  bude blízké teplotě, při které se identifikovaly toky  $\bar{\gamma}$  přes hranici  $\Gamma_2$ , a tedy skutečné toky při optimalizovaném návrhu se nebudou příliš lišit od toků  $\bar{\gamma}$ , což dává celé identifikační úloze smysl. Bylo by samozřejmě velmi vhodné, aby teplota na  $\Gamma_2$  při výchozím návrhu byla zároveň požadovanou teplotou.

Koeficient  $k$  je nutno volit "rozumně". Při příliš malém  $k$  by se pravděpodobně výsledné hodnoty  $\bar{\sigma}|_{\Gamma_2}$  značně lišily od  $\bar{\sigma}_d$ , což by celý návrh patrně dosti znehodnocovalo.

Na druhé straně, při příliš velkém  $k$  by mohlo při optimálním návrhu docházet k velkému teplotnímu namáhání, protože člen

$$\int_{\Omega} \bar{\tau}_{red}^r dx \quad \text{by byl zanedbatelný ve srovnání se členem}$$

$-k \int_{\Gamma_2} |\bar{\sigma} - \bar{\sigma}_d|^s ds$  (obecně lze totiž těžko očekávat alespoň přibližné splnění rovnosti  $\bar{\sigma} = \bar{\sigma}_d$  při optimálním návrhu v případě, že počet uzlů ležících při konečně-elementové approximaci na  $\Gamma_2$  bude větší než počet návrhových proměnných, tj. 7).

Také exponenty  $r, s$  je nutno volit "rozumně". Velké hodnoty lépe korespondují s normami v  $L^\infty$ , které jsou vhodné z praktického hlediska. Na druhé straně ovšem velké hodnoty  $r, s$  mají nepříznivé numerické vlastnosti (dostáváme optimalizační úlohy s "rychle se měnícím" gradientem, tj. numericky nehladké). Z numerického hlediska nemá smysl brát  $r, s$  větší než cca 10 až 20.

Vidíme tedy, že při zvoleném tvaru cenového funkcionálu je volba  $\mathcal{D}_d, k, r, s$  záležitostí jistého umění. Vhodná volba patrně dosti závisí na konkrétní situaci, která však nebyla k dispozici. Proto byly zvoleny (dosti náhodně) následující hodnoty pro modelový příklad:  $\mathcal{D}_d = \text{konst} = 380^\circ\text{C}$ ,  $k = 50 (\text{MPa})^2 \text{mK}^{-2}$ ,  $r = s = 2$ .

#### 1.4 Optimalizační algoritmus

Optimalizační úloha (1.1) se řeší jednoduchým optimalizačním algoritmem gradientního typu. Jeden krok tohoto algoritmu má tvar

$$u^{k+1} = P_{r_u}(u^k + c^k \cdot M \cdot \text{grad } J(u^k)),$$

kde  $J(u) = j(A(u))$ ,  $M$  je matice určující metriku v prostoru návrhových parametrů ( $M$  symetrická, pozitivně definitní),  $c^k < 0$  je délka kroku,  $P_{r_u}: \mathbb{R}^7 \rightarrow \mathbb{R}^7$  je projekce na množinu přípustných návrhových parametrů  $U$ .

Matice  $M$  byla volena diagonální:  $M = (m_i \delta_{ij})_{i,j=1,7}$ ,  
 $m_1, \dots, m_6 = 10^{-10} (\text{MPa})^{-2}$ ,  $m_7 = 10^{-3} (\text{MPa})^{-2} \text{ m}^{-2} \text{ K}^2$ .

Zdůrazněme, že by nebylo vhodné volit  $M$  jednotkovou matici, neboť její prvky mají různý fyzikální rozdíl. Jako délka kroku  $c^k$  se vzal argument infima paraboly:

$G(c) = q(0) + q'_-(0)c + (q(c^{k-1}) - q(0) - q'_-(0) \cdot c^{k-1})c^2 / (c^{k-1})^2$   
na intervalu  $[5c^{k-1}, 0]$ , kde  $g: \mathbb{R} \rightarrow \mathbb{R}$  je definováno vztahem:

$$g(c) = J(P_{r_u}(u^k + c \cdot M \cdot \text{grad } J(u^k)))$$

a  $g'_-(0)$  je derivace funkce  $g(\cdot)$  v nule zleva. Zřejmě platí:

$$g'_-(0) = \sum_{i \in I} m_i \left( \frac{\partial J}{\partial u_i}(u^k) \right)^2,$$

kde  $I$  je množina těch indexů  $i$ ,  $1 \leq i \leq 7$ , pro které

$\exists c < 0$  takové, že

$$u_i^{\min} < u_i^k + c m_i \frac{\partial J}{\partial u_i} < u_i^{\max}.$$

V případě, že nedošlo k poklesu  $J$ , tj.  $g(c^k) \geq g(0)$ , uvažoval se poloviční krok, tj. místo  $c^k$  se zvolilo  $c^k/2$ , atd. Tím se po konečném počtu rozpůlení délky kroku dosáhne poklesu minimalizované funkce  $J$  (za předpokladu, že  $J$  je hladká,  $u^k$  nerealizuje minimum  $J$  na  $U$  a gradient  $J$  je spočten dostatečně přesně).

Pro odstartování optimalizačního algoritmu je nutné zvolit  $u^0 \in U$  a  $c^{-1}$ . V modelovém příkladu bylo zvoleno:

$$u_1^0 = 0,15 \text{ m}, \quad u_2^0 = 0,15 \text{ m}, \quad u_3^0 = 0,03 \text{ m}, \quad u_4^0 = 0,4 \text{ m} \\ u_5^0 = 0,2 \text{ m}, \quad u_6^0 = 0,03 \text{ m}, \quad u_7^0 = 20^\circ\text{C}, \quad c^{-1} = 20.$$

Na modelovém příkladu tento jednoduchý optimalizační algoritmus velmi dobře minimalizoval cenový funkcionál v počáteční fázi optimalizace. Dá se ovšem očekávat, že v okolí optimálního návrhu by tento jednoduchý algoritmus nebyl příliš úspěšný. Avšak s ohledem na to, že není úplně jasné, jak zvolit cenový funkcionál, není také nutné řešit optimalizační úlohu příliš přesně.

Výsledky prvních 7 iterací optimalizačního algoritmu jsou uvedeny v tabulce 1.1. Kromě návrhových proměnných  $u$  a cenového funkcionálu  $J(u)$  jsou uváděny: maximální odchylky  $|u - u_d|$  na  $\Gamma_2$  (označené  $J_1$ ) a maximální redukované napětí  $T_{red}$  (označené  $J_2$ ). Dodejme, že maximum redukovaného napětí se realizovalo na elementu č. 262, tj. u hranice  $\Gamma_2$  v blízkosti druhého chladícího otvoru. Síť pro původní a pro optimalizovaný návrh (tj. pro  $u^k, k=0$  a  $\neq$ ) je v grafickém zpracování na tiskárně uvedena v příloze. V síti jsou vyznačena čísla uzlů, a v prvním případě též čísla elementů. Číslování uzlů je v obou sítích různé, protože síť byla před kreslením znova generována. Bohužel, pro dlouhodobou poruchu na kreslícím zařízení fy. Hewlett-Packard instalovaném v SVT ČSAV nebylo možné přiložit kvalitněji zpracovanou triangulaci, i když kreslení triangulací na tomto zařízení bylo již odzkoušeno (včetně odladění jednoduchých kreslících a čtecích programů na kalkulátoru Hewlett-Packard).

Zmiňme se ještě o problému výpočtu gradientu minimalizované funkce  $J$ . Přesný (při zanedbání zaokrouhlovacích chyb) výpočet známou metodou sdružených rovnic je sice rychlý, avšak algoritmický a programově velice náročný (zejména proto, že matice vodivosti a tuhosti složitým způsobem závisí na návrhových proměnných). Byla proto zvolena možnost numerického výpočtu gradientu, který je ve srovnání s předchozí možností triviální co se týče algoritmu a při sedmi návrhových proměnných se dá očekávat, že není pomalejší více než 4krát. Vzhledem k tomu, že výpočet  $J$  je zatížen pouze zaokrouhlovacími chybami (např. soustavy algebraických rovnic jsou řešeny finitními a nikoli iteračními metodami), bylo možno v modelovém příkladu spočítat gradient touto metodou na dvě až tři platná místa, což postačovalo pro optimalizační algoritmus (slepoň v počáteční fázi optimalizace - viz tab. 1.1).

Pro výpočet:  $\text{grad } J(u^k)$  bylo použito přibližného vzorce:

$$(\text{grad } J(u^k))_i = (\bar{J}(u^k + \delta_i) - \bar{J}(u^k)) / s_i, \quad i = 1, \dots, 7,$$

kde vektor  $\delta_i \in \mathbb{R}^7$  má složku  $(\delta_i)_j = s_i \delta_{ij}$ ,  $\delta_{ij}$  je Kroneckerův symbol.

Po vyzkoušení několika hodnot  $s_i$  bylo v modelovém příkladu zvoleno:

$$s_1 = s_2 = s_4 = s_5 = 5 \cdot 10^{-5} \text{ m}, \quad s_3 = s_6 = 2 \cdot 10^{-5} \text{ m}, \quad s_7 = 10^{-2} \text{ K}$$

Na těchto hodnotách ovšem příliš nezáleží. V případě potřeby by bylo možno zpřesnit numerický výpočet gradientu zmenšením  $s_i$  a provedením výpočtu  $J$  ve dvojnásobné přesnosti (místo podprogramu MCHB by pak bylo nutno použít podprogram DMCHB).

Gradient stavu  $x$  podle návrhových proměnných  $u$  lze vypočítat výhodně následujícím úsporným způsobem (v této fázi práce nebylo implementováno):

Operátor  $x = A(u)$  je zadán řešením soustavy lineárních rovnic

$$Bx = f,$$

kde  $B = B(u)$ ,  $f = f(u)$ . Chceme vypočítat

$$x_0 = x(u), x_i = x(u + \delta_i), i = 1, \dots, 7.$$

Nejdříve spočítáme  $B_0 = B(u) = f_0 = f(u)$   
 $x_0 = B_0^{-1} f_0$ .

a uložíme dekompozici  $B_0$ . Pro každé  $i = 1, \dots, 7$  spočítáme  $B_i = B(u + \delta_i)$ ,  $f_i = f(u + \delta_i)$ .

Stav  $x_i$  vyhovuje soustavě

$$B_i \epsilon_i = f_i - B_i x_0,$$

kde

$$\epsilon_i = x_i - x_0.$$

Nyní lze  $\epsilon_i$  approximovat výrazem

$$\epsilon_i \approx B_0^{-1} (f_i - B_i x_0).$$

Tento výpočet lze chápat jako první krok iterační metody

$$\epsilon_i^{k+1} = \epsilon_i^k - B_0^{-1} [B_i \epsilon_i^k - (f_i - B_i x_0)]$$

s počátečním přibližením  $\epsilon_i^0 = 0$ .

Pro takto definované  $\epsilon_i^k$  platí odhad chyby

$$\|\epsilon_i^k - \epsilon_i\| \leq (\|B_0^{-1}\| \|B_0 - B_i\|)^k \|\epsilon_i\|.$$

Protože  $B$  závisí na  $u$  spojitě, bude při malém kroku  $\delta_i$  i rozdíl  $B_0 - B_i$  malý. Poznamenejme, že pro  $i = 7$  (variace teploty  $\mathcal{D}_0$ ) je dokonce  $B_7 = B_0$  a tedy

$$\epsilon_7 = B_0^{-1} f_7 - x_0.$$

Tento způsob výpočtu má tu výhodu, že pro numerický výpočet gradientu v jednom bodě stačí spočítat pouze jednu dekompozici matice  $\mathbf{B}_e$ , která je značně časově náročná zejména pro větší úkoly. Výpočetní složitost ostatních složek výpočtu - transformování triangulace, výpočet matic a tuhosti, atd. - roste pouze lineárně s rozměrem úlohy. Matice  $\mathbf{B}$  je blokově trojúhelníková se symetrickými diagonálními bloky (= matice tuhosti pro teplotu a elasticitu) a pro její dekompozici je tedy nutno volat 2x podprogram MCHB.

### 1.5 Implementační poznámky

Program byl odladěn na počítačích EC 1040 (VC UK) a EC 1045 (SVT ČSAV). Program potřebuje 398 Kbyte (přeloženo překladačem Fortran - S), ale pro náš modelový příklad by bylo možno zmenšit prostor pro matice vodivosti a tuhosti (celý program by pak nevyžadoval více než 300 Kbyte). Všechny datové struktury jsou zobrazeny v operační paměti a nebyla použita technika překrývání pro program. Spotřeba času základní jednotky EC 1045 pro modelový příklad : podprogram TRIANG (=sestavení triangulace) potřeboval při prvním vyvolání 43 s, při dalších 0,1 s. Výpočet jedné funkční hodnoty cenového funkcionálu trval 12 - 13 s, tedy výpočet gradientu cenového funkcionálu (numericky trval řádově 100 s. Na výpočet podle tabulky 1 bylo potřeba přibližně 15 min. (přitom v optimalizačním algoritmu nebylo nikdy potřeba rozpůlit délku kroku). Omezení programu a kde je nutno udělat úpravy při jejich překročení:

- a) počet uzlů  $\leq 300$ , počet elementů  $\leq 500$  (COMMON "OPT" v hl. programu a v podprogramu  $F_1$ , proměnná MELEM v hl. programu a pole FE, FP, BE v podprogramu TE). TRIANG, GRID a SEZNAL mají omezení počet uzlů  $\leq 400$ , počet elementů  $\leq 600$  (pole XR, YR, W v TRIANG, pole XEE, YEE v GRID, pole IA, IP, IPL v SEZNAL a pole v jeho podřízených podprogramech).
- b) počet uzlů nebo hran v okrajových podmínkách  $\leq 50$  (podprogram F), počet hran na  $\Gamma_z \leq 10$  (COMMON "OPT")
- c) matice vodivosti  $\leq 10^4$  a tuhosti  $\leq 4 \cdot 10^4$  (podprogram TE), ukládá se však jen polovina matice a nenulové diagonály, tedy potřebný prostor závisí na šířce pásu těchto matic.
- d) řádková tiskárna s alespoň 128 znaky/řádek (podprogram LSTG)

Stručný popis nejdůležitějších částí programu:

Hlavní program: Optimalizační algoritmus, kreslení sítě na tiskárně nebo výstup dat pro kreslení na kreslicím zařízení fy. Hewlett-Packard.

Volá: F, LSTG

F: Podprogram (funkce) pro výpočet hodnoty cenového funkcionálu.

Volá: TRIANG, TE

TE: Podprogram realizující výpočty z odst. 1.2 a 1.3.

Volá: MCHB (podprogram knihovny SSP pro řešení soustav lineárních algebraických rovnic).

TRIANG: Generování pohyblivé triangulace

Volá: GRID - triangulace referenční oblasti

SEZNAØ - lexikografické očíslování uzlù

SEZNAL - optimalizace očíslování uzlù

LISTB } - tisk uzlù s okrajovými podmínkami  
LISTU }

LSTG

LSTG: kreslení sítě na tiskárně.

Srovnání označení v této zprávě s označením užitým v programu (hl. program + podprogramy F, TE):

u . . . (vektor návrhových proměnných)	. . . . .	U
$\sigma_0$ . . . . .	. . . . .	U(7)
$\sigma$ . . . . .	. . . . .	FT
a . . . . .	. . . . .	HC
$\alpha$ . . . . .	. . . . .	ALPHA
$\psi$ . . . . .	. . . . .	FLUX
$\sigma_{0,k}$ . . . . .	. . . . .	T
$u = (u_1, u_2)$ (posunutí)	. . . . .	FE

E	YOUNG
G	POISS
T <sub>red</sub>	HMH
$\alpha_t$	ALPHAT
T <sub>d</sub>	TPEN
k (konstanta v cenovém funkcionálu)	PEN
c <sup>k</sup>	STEP
m <sub>i</sub>	S(I)
s <sub>i</sub>	SØ(I)
u <sub>i</sub> <sup>max</sup>	UMAX(I)
u <sub>i</sub> <sup>min</sup>	UMIN(I)
E <sub>z</sub>	EZ
T <sub>z</sub>	SZ

### 1.6 Popis vstupních dat

Data na obr. 1.3 byla pro přehlednost rozdělena do 7 odstavců.

1. Zadání koeficientů úlohy NAMELIST DD. Čte se v MAIN.

2 - 5 : data pro GRID

2. 9=počet podoblastí, 42=počet dělících bodů. Formát 2I3.

3. Souřadnice dělících bodů, nejdříve  $x$ , pak  $y$ .

Srov. obr. 1.1. Formát 8Fl0.5.

4. Tzv. connectivity data. Pro každou podoblast jeden štítek, který udává s kterými podoblastmi sousedí. Např. 2 sousedí hranou 1 s podoblastí 3, hranou 2 s 5 a hranou 3 s 1. Hrany se číslují od spodní proti směru hodinových ručiček. Formát 4I3.

5. Data podoblastí. Řádek obsahuje:

číslo podoblasti, počet řádků (=dělení), počet sloupců, čísla  
8 dělících bodů, které podoblast definují, od hrany 1 proti  
směru hodinových ručiček. Podoblast musí být čtyřúhelník, dělící  
body uvnitř stran zadávají jen případné nerovnoměrné dělení.

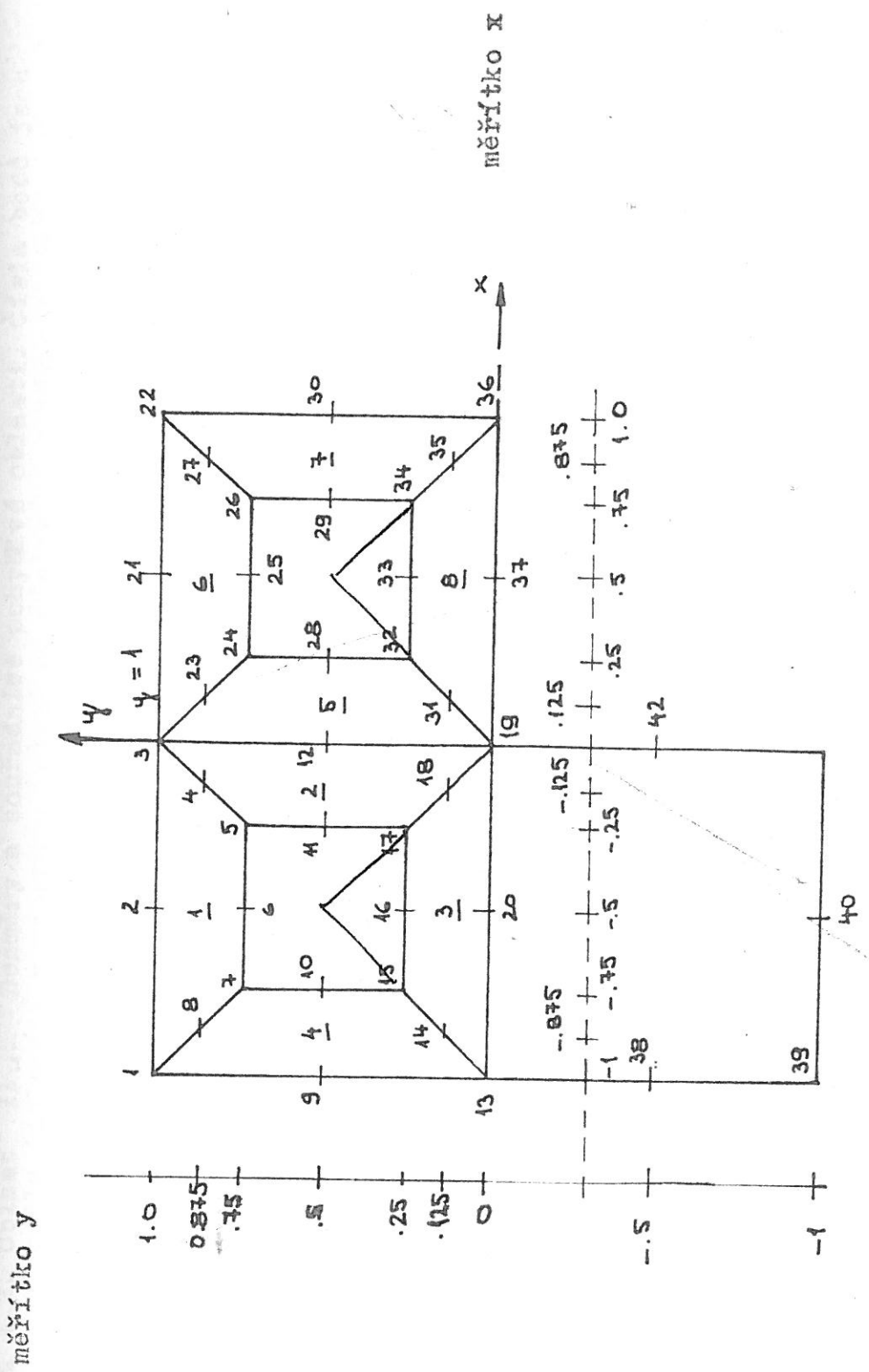
6. Okrajové body oblasti  $\Omega_u$ , srov. obr. 1.2. Formát  
10X, 2Fl0.5. Čte se v TRIANG.

7. NOPTIM - počet kroků optimalizace očíslování uzlů. Formát  
I2, čte se v TRIANG,

$k$	$u_1^k$	$u_2^k$	$u_3^k$	$u_4^k$	$u_5^k$	$u_6^k$	$u_7^k$	$c^{k-1}$	$J(u^k)$	$J_1$	$J_2$
-	[m]	-	[MPa] $^2$	[K]	[MPa]						
0	0,1500	0,1500	0,03000	0,4000	0,2000	0,03000	0,03000	-20,00	50527	82,29	627,4
1	0,1500	0,1501	0,02991	0,4011	0,1959	0,03569	6,91	-20,17	33757	98,75	610,5
2	0,1486	0,1520	0,02640	0,4035	0,1941	0,03750	24,32	-61,87	26340	76,12	605,8
3	0,1482	0,1525	0,02532	0,4047	0,1914	0,04088	23,07	-33,48	22956	83,12	592,1
4	0,1476	0,1533	0,02372	0,4056	0,1915	0,04045	35,21	-34,24	20604	67,69	594,8
5	0,1473	0,1537	0,02291	0,4067	0,1852	0,04319	34,09	-31,86	17736	72,23	582,1
6	0,1469	0,1543	0,02169	0,4077	0,1893	0,04277	44,16	-33,42	15758	59,59	584,4
7	0,1467	0,1547	0,02100	0,4085	0,1873	0,04500	43,45	-31,24	14076	63,19	573,1

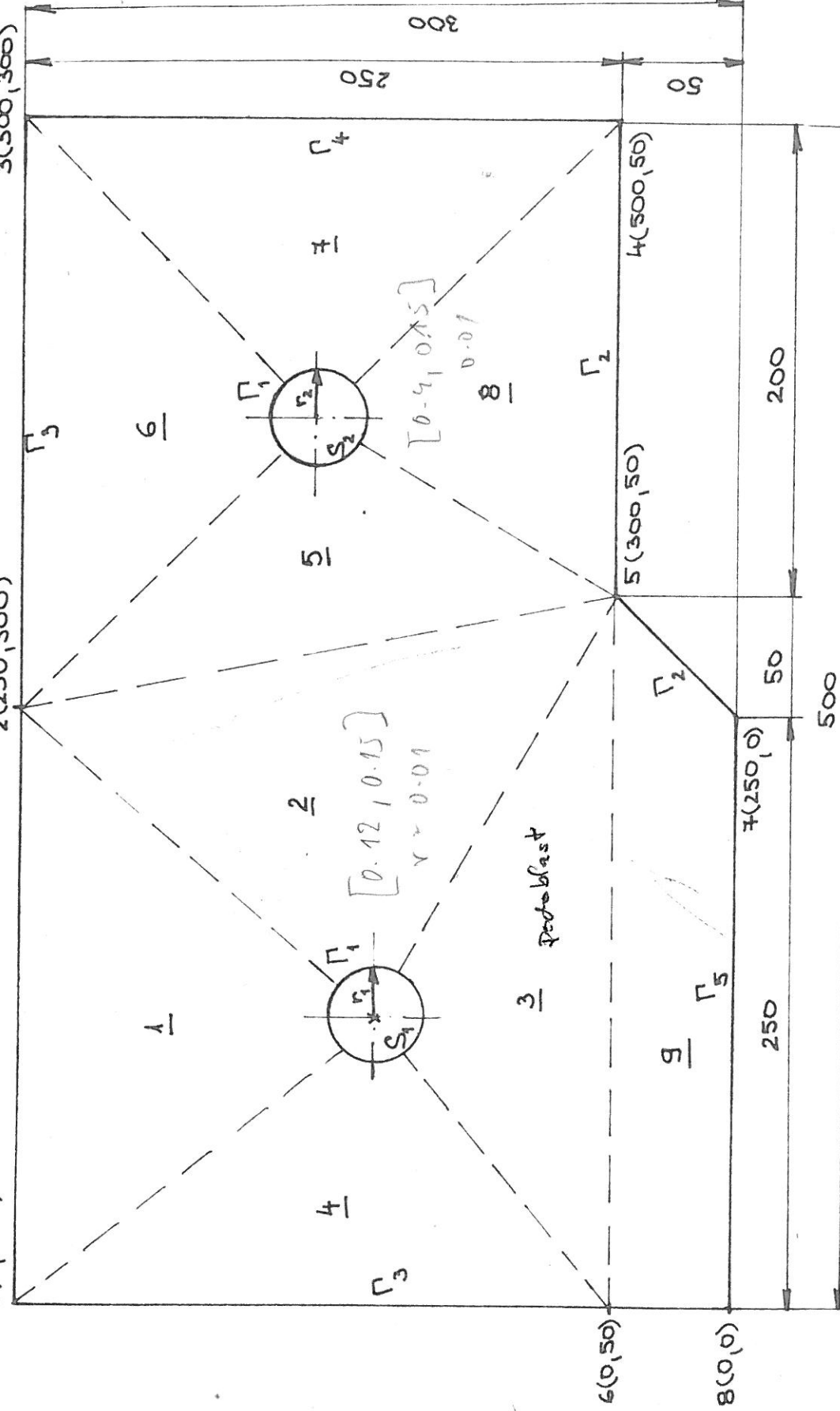
Tab. 1.1 : Prvních 7 iterací při optimalizaci modelového příkladu.

Legenda  $u_i^k$ ,  $i = 1, \dots, 7$  jsou návrhové proměně při  $k$ -té iteraci,  
 $c^k$  je délka kroku,  $J$  je cenový funkcionál,  $J_1 = \| \mathbf{v} - \mathbf{v}_d \|_{L^\infty(\Gamma_1)}$ ,  
 $J_2 = \| \tilde{\mathbf{C}}_{rad} \|_{L^\infty(\Omega)}$ .



Obr. 1.1. Referenční obl.  $\hat{\Omega}$ .  
Dělovi body a podoblasti (podtrženo) pro generování referenční triangulace programem GRID.

Obr. I.2. Oblast  $\Omega_4$ . Rozměry a souřadnice pohyblivé oblasti. Čísla bodů jsou podle číslování v programu (různá od číslování zadávencích bodů referenční triangulace).  
1(0,300) podtržená čísla jsou čísla podoblasti.  
2(250,300)



Obr. 1.3 - část 1.

1.

ADD MODE=2, U=.15,.15,.03,.40,.20,.03,20.,

S=6\*1.E-10, 1.E-3, SO=2\*5.E-5, \*5.E-5, 2.E-5, 10.E-2, STEP=-20.,

2.

FLUX=10\*1.3E+5, IWRF=1, T=20., TPLN=380., IT=1, FEN=50., & END

9 42 213

3.

8 F 10,5

-1.	-.5	0.	-.125	-.25	-.5	-.75	-.875
-1.	-.75	-.25	0.	-1.	-.875	-.75	-.5
-.25	-.125	0.	-.5	.5	1.	.125	.25
.5	.75	.875	.25	.75	1.	.125	.25
.5	.75	.875	1.	.5	-1.	1.	-.5
0.	0.						
1.	1.	1.	.875	.75	.75	.75	.875
.5	.5	.5	.5	0.	.125	.25	.25
.25	.125	0	0	1.	1.	.875	.75
.75	.75	.875	.5	.5	.5	.125	.25
.25	.25	.125	0.	0.	-.5	-1.	--1.
-1.	-.5						

4.

4 I 3

0	u	2	u	0	u	4	u	:	1
3	5	1	0	4	0	0	0	:	2
9	2	0	4	0	4	0	4	:	3
3	0	1	0	0	1	0	0	:	4
8	0	6	2	0	6	2	0	:	5
0	7	0	5	0	5	0	5	:	6
8	0	6	0	0	6	0	0	:	7
0	7	0	5	0	5	0	5	:	8
9	0	3	0	0	3	0	0	:	9

5.

1	5	4	7	6	5	4	3	2	1	8
2	5	5	17	18	19	12	3	4	5	11
3	5	5	13	20	19	18	17	16	15	14
4	5	5	13	14	15	10	7	8	1	9

5	5	5	19	31	32	20	24	23	3	12
6	5	5	24	25	26	27	22	21	3	23
7	5	5	34	35	36	30	22	27	26	29
8	5	7	19	37	36	35	34	33	32	31
9	3	5	39	40	41	42	19	20	13	38

6.

1	0.	.3
2	.25	.3
3	.5	.3
4	.5	.05
5	.3	.05
6	.0	.05
7	.25	.0
8	.0	.0

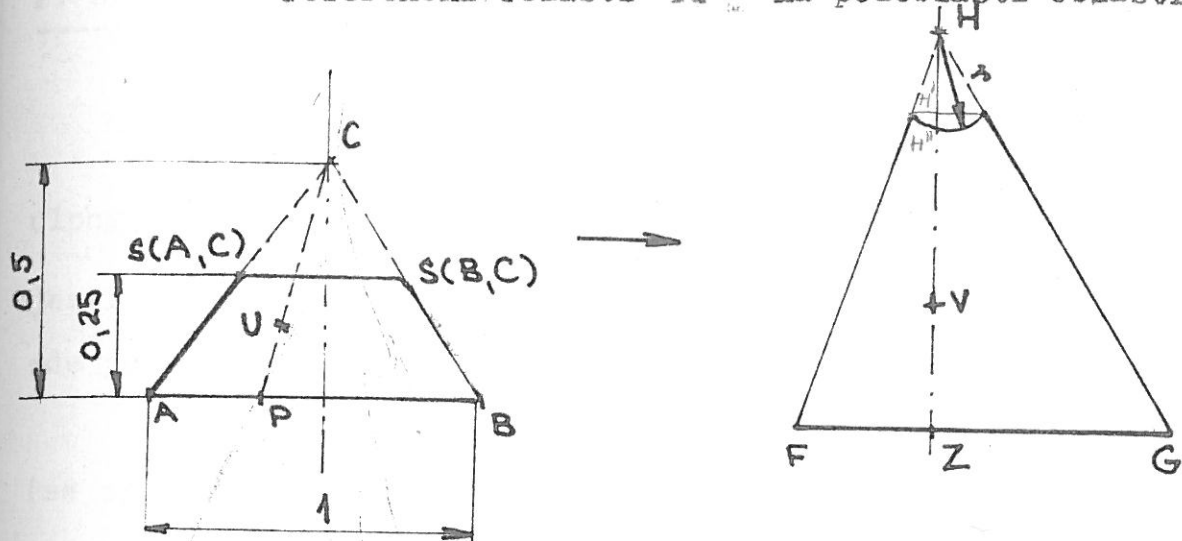
10X, 2 F10.5

7.

02 Počet optimalizačních kroků I2  
/x Vstupní data

Podtržená čísla jsou čísla odstavců, příslušné řádky nejsou v datech obsaženy.

Obr. 1.4. Transformace podoblastí  $\tilde{\Omega}$  až 8  
referenční oblasti  $\tilde{\Omega}_u$  na podoblasti oblasti  $\Omega_u$ .



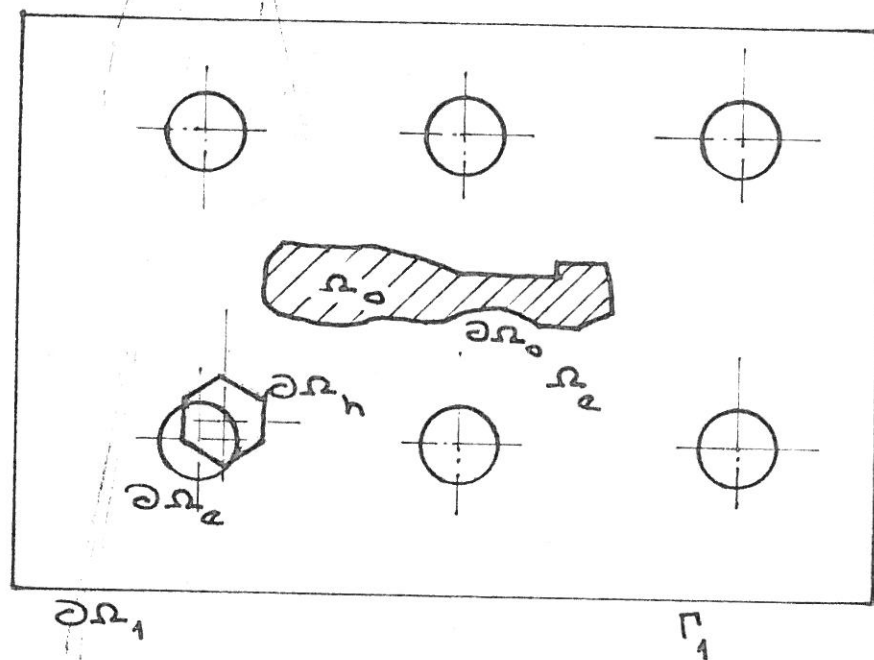
$AB \rightarrow FG$  lineárně,  $C \rightarrow H$   $U \rightarrow V$

$$P = C + t_1(N - C), \quad \frac{1}{2} \leq t_1 \leq 2$$

$$\frac{AP}{BP} = \frac{FZ}{GZ}$$

$$V = S + t_2(Z - H), \quad t_2 = \left( \frac{r}{Z - H} \right)^{2 - \frac{2}{k}}$$

Obr. 2.1.



## 2. Analýza konvergence přibližných řešení optimalizační úlohy

Cílem této kapitoly je vyšetřit, zda-li řešení přibližné úlohy konvergují k řešení původního optimalizačního problému, jestliže se zjemňuje parametr triangulace k nule. Uvažují se zde pouze "přímé" trojúhelníkové prvky a lineární polynomy.

Dokážeme, že z každé posloupnosti řešení přibližné úlohy (se zjemňující se triangulací) lze vybrat podposloupnost konvergující k řešení původního problému optimalizace. Rovněž ukážeme, že i přibližná řešení stavových problémů při tom konvergují k řešení stavové úlohy na "limitní" oblasti.

Zopakujeme nejprve zadanou optimalizační úlohu (srov. /1/).

### Stavový problém:

1. část: najít funkci  $\bar{v} \in V(\Omega_\epsilon)$ ,

$$V(\Omega_\epsilon) = \{ v = H^1(\Omega_\epsilon) : v = 0 \text{ na } \Gamma_\epsilon \}$$

takovou, že

$$\bar{v} - \bar{v}_0 \in V(\Omega_\epsilon),$$

$$(2.1) \int_{\Omega_\epsilon} a \nabla \bar{v} \cdot \nabla w dx + \int_{\partial\Omega_\epsilon} a \bar{v} w ds = \int_{\partial\Omega_0} q w ds \quad \forall w \in V(\Omega_\epsilon)$$

zde  $a = \text{konst} > 0$ ,  $\alpha = \text{konst} \geq 0$ ,  $\bar{v}_0 = \text{konst}$ ,  $q \in L^2(\partial\Omega_0)$  jsou dané funkce, oblast  $\Omega_\epsilon$  má hranici

$$\partial\Omega_\epsilon = \partial\Omega_0 \cup \partial\Omega_1 \cup \Gamma_\epsilon,$$

kde  $\Gamma_\epsilon$  tvoří kružnice s poloměry  $s_k$  a středy  $S_k$ ,

$k = 1, \dots, N_0$  (viz obr. 2.1),  $\partial\Omega_1$  je "vnější" obdélník

a  $\partial\Omega_0$  je vnitřní hranice.  $\partial\Omega_0$  ani  $\partial\Omega_1$  na návrhových

parametrech  $a = \{S_k, s_k\}_{k=1}^{N_0}$  nezávisí,  $\partial\Omega_0$  je polygonální.

2. Část stavové úlohy:

$$V_p(\Omega_\epsilon) = \{u \in [H^1(\Omega_\epsilon)]^2 : \int_{\Gamma_1} u \, ds = 0,$$

$$\int_{\Gamma_1} (x_1 u_2 - x_2 u_1) \, ds = 0\},$$

kde  $\Gamma_1 \subset \partial\Omega$ , je pevná úsečka, nezávislá na  $\epsilon$ .

Hledáme funkci  $u \in V_p(\Omega_\epsilon)$  takovou, že

$$(2.2) \int_{\Omega_\epsilon} (\lambda \operatorname{div} u \operatorname{div} v + 2\mu \varepsilon_{ij}(u) \varepsilon_{ij}(v)) \, dx = \\ = \int_{\Omega_\epsilon} k_0 \mathcal{T} \operatorname{div} v \, dx \quad \forall v \in V_p(\Omega_\epsilon).$$

Zde  $\lambda \geq 0$ ,  $\mu > 0$ ,  $k_0 > 0$  jsou dané konstanty, sčítáme přes opakovány indexy v rozmezí 1, 2 a  $\mathcal{T}$  je řešení rovnice 2.1)

Účelový funkcionál:

$$j(\epsilon, u(\epsilon)) = (\operatorname{mes} \Omega_\epsilon)^{-1} \int_{\Omega_\epsilon} T^2(\tau) \, dx, \quad (\tau = \tau(u(\epsilon)))$$

kde  $T^2(\tau)$  je čtverec intenzity smykových napětí, tj. homogenní kvadratická forma ve složkách tenzoru deformace (viz /1/ - Část 1., vzorec (14)).

Množina přípustných návrhových parametrů  $U_{ad} \subset \mathbb{R}^{3N_0}$  je definována např. v /1/ část 1. - (19), (20).

Úloha optimalizace:

najít  $\epsilon \in U_{ad}$  takové, že

$$(2.3) \quad j(\epsilon, u(\epsilon)) \leq j(\gamma, u(\gamma)) \quad \forall \gamma \in U_{ad},$$

přičemž  $u(\alpha)$ , resp.  $u(\eta)$  značí řešení úlohy (2.2) na oblasti  $\Omega_\alpha$ , resp.  $\Omega_\eta$ .

Dále připomeneme definici přibližné úlohy optimalizace (viz /1/ část 2., (45), (46)).

Budeme uvažovat pouze triangulace složené z "přímých" trojúhelníků. Zavedeme pohyblivé síť uzlů jako v /1/ - část 1, kapitole 2.2, závislé jen na parametrech  $\alpha \in U_{ad}$ .

Příslušné triangulace budeme značit  $\tilde{\mathcal{T}}_h(\alpha)$  a sjednocení všech trojúhelníků z  $\tilde{\mathcal{T}}_h(\alpha)$  bude

$$\Omega_h \equiv \cup_{\alpha} \tilde{\mathcal{T}}_h(\alpha), \alpha \in U_{ad},$$

přičemž

$$h = \max_{T \in \tilde{\mathcal{T}}_h(\alpha)} (\text{diam } T).$$

Dále budeme značit prostor konečných prvků

$$H_h(\Omega_h) = \{v_h \in C(\Omega_h): v_h|_T \in P_1(T) \quad \forall T \in \tilde{\mathcal{T}}_h(\alpha)\},$$

$$V_h(\Omega_h) = H_h(\Omega_h) \cap V(\Omega_h),$$

$$V_{ph}(\Omega_h) = \left\{ u \in [H_h(\Omega_h)]^2 : \int_{\Gamma_1} u \, ds = 0, \right.$$

$$\left. \int_{\Gamma_1} (x_1 u_2 - x_2 u_1) \, ds = 0 \right\}.$$

Přibližná stavová úloha:

1. část: najít  $t_h \in V_h(\Omega_h)$  takovou, že

$$(2.4) \quad \int_{\Omega_h} \alpha \nabla t_h \cdot \nabla w_h dx + \alpha \int_{\partial \Omega_1} t_h w_h ds = \\ = \int_{\partial \Omega_0} q w ds - \int_{\partial \Omega_1} \alpha \vartheta_0 w ds \quad \forall w_h \in V_h.$$

2. část: najít  $u_h \in V_{ph}(\Omega_h)$  takovou, že

$$(2.5) \quad \int_{\Omega_h} (\lambda \operatorname{div} u_h \operatorname{div} v_h + 2\mu \varepsilon_{ij}(u_h) \varepsilon_{ij}(v_h)) dx = \\ = \int_{\Omega_h} k_0 (\vartheta_0 + t_h) \operatorname{div} v_h dx \quad \forall v_h \in V_{ph}(\Omega_h)$$

kde  $t_h$  je řešení (2.4).

Přibližná úloha optimalizace:

najít  $\alpha \in U_{ad}$ , pro které je

$$(2.6) \quad j_h(\alpha, u_h(\alpha)) \leq j_h(\gamma, u_h(\gamma)) \quad \forall \gamma \in U_{ad},$$

kde

$$j_h(\alpha, u_h(\alpha)) = (\operatorname{mes} \Omega_h)^{-1} \int_{\Omega_h} I^2(\tau(u_h(\alpha))) dx;$$

a podobně je definován  $j_h(\gamma, u_h(\gamma))$ .

Ve zprávě /l/ část II. jsme dokázali existenci řešení úlohy optimalizace (2.3) i přibližné úlohy optimalizace (2.6) při použití čtyřúhelníkových křivočarých isoparametrických prvků s "téměř" bikvadratickými polynomy na referenčním čtverci.

V případě, který uvažujeme zde, lze existenci řešení přibližné úlohy dokázat stejným způsobem, přičemž se úvahy ještě technicky velmi zjednoduší.

Abychom vyšetřili konvergenci řešení přibližné úlohy, budeme potřebovat několik pomocných lemat o konvergenci řešení přibližné stavové úlohy za předpokladu, že budeme zjemňovat triangulace  $T_h$ .

Lemma 2.1. Existuje konstanta  $C > 0$  nezávislá na  $\epsilon$  a  $h$  taková, že pro všechna  $u \in U_{ad}$  platí:

$$\|u\|_{1, \Omega_h(\epsilon)} \leq C \|u\|_{1, \Omega_h(\epsilon)} \quad \forall u \in V(\Omega_h(\epsilon)),$$

Důkaz. Rozdělme  $\Omega_h(\epsilon)$  na  $N_0$  disjunktních podoblastí

$\Omega_{hm}, m = 1, \dots, N_0$ , z nichž každá obsahuje právě jeden otvor.

Uvažujme libovolnou z oblastí  $\Omega_{hm}$  a umístíme polární souřadnice počátkem do středu  $S^{(m)}$  approximovaného kruhu  $K_{hm}$ . Pak můžeme psát

$$\Omega_{hm}(\epsilon) = \{(r, \varphi) : 0 \leq \varphi \leq 2\pi, g_{hm}(\varphi) \leq r \leq R_m(\varphi)\},$$

$$\int_{\Omega_{hm}} |\nabla u|^2 dx = \int_0^{2\pi} d\varphi \int_{S_{hm}} (u_r^2 + r^{-2} u_\varphi^2) r dr,$$

kde indexy  $r, \varphi$  značí parciální derivace.

Nechť  $u \in C^\infty(\bar{\Omega}_h(\epsilon)) \cap V(\Omega_h(\epsilon))$ .

Pak máme

$$u(r_1, \varphi_1) = \int_{S_{nm}(\varphi_1)}^{r_1} u_r(r_1, \varphi_1) dr_1,$$

$$u^2(r_1, \varphi_1) \leq (r_1 - S_{nm}(\varphi_1)) \int_{S_{nm}(\varphi_1)}^{r_1} u_r^2 dr \leq R_0 \int_{S_{nm}(\varphi_1)}^{R_m(\varphi_1)} u_r^2(r, \varphi_1) dr,$$

kde

$$R_0 = \max_{m, e} (\max_{\varphi} R_m(\varphi)) \leq \max_{\substack{m \in N_0 \\ e \in U_{ad}}} (\text{diam } \Omega_{hm}(e)) < \infty$$

Integraci dostaneme

$$\begin{aligned}
 (2.7) \quad \|u\|_{\Omega_{hm}(e)}^2 &= \iint_{\Omega_{hm}(e)} u^2(r_1, \varphi_1) r_1 dr_1 d\varphi_1 \leq \\
 &\leq R_0 \int_0^{2\pi} d\varphi_1 \int_{S_{nm}(\varphi_1)}^{R_m(\varphi_1)} r_1 \left( \int_{S_{nm}(\varphi_1)}^{R_m(\varphi_1)} u_r^2(r, \varphi_1) dr \right) dr_1 \leq \\
 &\leq R_0 \int_0^{2\pi} d\varphi_1 \cdot \frac{1}{2} (R_0^2 - S_{nm}^2(\varphi_1)) \int_{S_{nm}(\varphi_1)}^{R_m(\varphi_1)} u_r^2(r, \varphi_1) dr \leq \\
 &= \frac{1}{2} R_0^3 \int_0^{2\pi} d\varphi_1 \int_{S_{nm}(\varphi_1)}^{R_m(\varphi_1)} u_r^2(r, \varphi_1) \frac{2r}{S_{min}} dr \leq R_0^3 S_{min}^{-1} \|u\|_{\Omega_{hm}}^2
 \end{aligned}$$

neboť pro všechna  $h \leq h_0, \alpha \in U_{ad}$  je možno odhadnout

$$\mathcal{S}_{hm}(\varphi_h) \geq \frac{1}{2} S_{\min},$$

tedy

$$2r/S_{\min} \geq 1.$$

Přičteme-li na obou stranách (2.7) čtverec seminormy, odvodíme

$$\|u\|_{\Omega_{hm}(\alpha)}^2 \leq (1 + R_0^3 S_{\min}^{-1}) \|u\|_{\Omega_h(\alpha)}^2$$

Sečteme tyto nerovnosti pro  $m = 1, 2, \dots, N_0$ . Z hustoty množiny hladkých funkcí v prostoru  $V(\Omega_h(\alpha))$  plyne tvrzení lemmatu, přičemž

$$C = (1 + R_0^3 S_{\min}^{-1})^{1/2}.$$

C.B.D.

Lemma 2.2. Nechť je dána posloupnost  $\{\alpha(h)\}$ ,  $h \rightarrow 0$ ,  
 $\alpha(h) \in U_{ad}$  taková, že

$$(2.8) \quad \lim_{h \rightarrow 0} \alpha(h) = \alpha$$

(tj. konverguje v  $\mathbb{R}^{3N_0}$ ). Uvažujme regulární (Regulární systém triangulací je takový, pro který existuje konstanta  $\vartheta_0 > 0$  taková, že žádný z vnitřních úhlů ze systému není menší než  $\vartheta_0$ ). Regulární systém dostaneme např. "půlením", tzn. pro posloupnost  $h_n = h_0 \cdot 2^{-n}$ ,  $n = 0, 1, 2, \dots$ , tím, že "nové" uzly v triangulaci  $\tilde{T}_{h_{n+1}}$  odpovídají středům stran triangulace  $\tilde{T}_{h_n}$ ) posloupnost triangulací  $\{\tilde{T}_h(\Omega_h)\}$ , kde  $\Omega_h \equiv \Omega_h(\alpha(h))$  a přibližných řešení  $\tilde{t}_h$  rovnice (2.4) na  $\Omega_h$ .

Pak platí

$$(2.9) \quad \tilde{t}_h \rightarrow \tilde{t}(\alpha) \quad (\text{slabě}) \text{ v } H^1(\vartheta),$$

kde  $\Theta = \Omega_1 - \Omega_0$  a  $\tilde{t}_h$  resp.  $\tilde{t}(\alpha)$  je prodloužení funkce  $t_h$  resp.  $t(\alpha)$  nulou na  $\Theta - \Omega_h$  resp.  $\Theta - \Omega_\alpha$ .

Důkaz. Nejprve ukážeme, že existuje konstanta  $C_1$ , nezávislá na  $h$  a taková, že

$$(2.10) \quad \|\tilde{t}_h\|_{1,\sigma} \leq C_1 \quad \forall h \leq h_0.$$

Vskutku, podle definice  $\tilde{t}_h$  platí (2.4). Dosadíme-li za  $w_h$  funkci  $\tilde{t}_h$ , užijeme Lemmatu 2.1 a nerovnosti  $\alpha \geq 0$  na  $\partial\Omega_1$ ,  $\alpha > 0$ , můžeme psát

$$\begin{aligned} \|\tilde{t}_h\|_{1,\sigma}^2 &= \|t_h\|_{1,\Omega_h}^2 \leq C_1 \|t_h\|_{1,\Omega_h}^2 \leq C_1 \alpha^{-1} \int_{\Omega_h} |\nabla t_h|^2 dx \leq \\ &\leq C_1 \alpha^{-1} (\|g\|_{\sigma, \partial\Omega_0} \|t_h\|_{0, \partial\Omega_0} + C_2 \|t_h\|_{0, \partial\Omega_1}) \leq \\ &\leq C_3 \|\tilde{t}_h\|_{0, \partial\Omega} \leq C_4 \|\tilde{t}_h\|_{1,\sigma}. \end{aligned}$$

Odtud plyne nerovnost (2.10)

Existuje tedy podposloupnost (kterou budeme značit stejným symbolem) a funkce  $\tilde{t} \in H^1(\Omega)$  takové, že

$$(2.11) \quad \tilde{t}_h \rightarrow \tilde{t} \quad (\text{slabě}) \text{ v } H^1(\Omega).$$

Ukážeme, že platí

$$(2.12) \quad \tilde{t} = 0 \quad \text{v} \quad \Theta - \Omega_\alpha.$$

Důkaz provedem sporem. Nechť tedy  $\tilde{E} \neq 0$  na množině  $E \subset \Omega_{\epsilon}$ , přičemž  $\text{mes } E > 0$ . Označme  $K_{ke}$  kruh o středu  $S^{(k)}$  s poloměrem  $\rho_k - \epsilon$ . Definujeme oblast

$$\Omega_{\epsilon} = \Omega - \bigcup_{k=1}^{N_0} K_{ke}.$$

Zřejmě existuje  $h_0(\epsilon)$  takové, že pro  $h < h_0(\epsilon)$  je

$$(2.13) \quad \bar{\Omega}_h \subset \Omega_{\epsilon}.$$

Tedy uvnitř kruhů  $K_{ke}$ ,  $k=1, \dots, N_0$ , platí

$$(2.14) \quad \tilde{E}_h = 0.$$

Existuje dostatečně malé  $\epsilon > 0$  takové, že  
 $\text{mes } [(\Omega - \Omega_{\epsilon}) \cap E] > 0$ .

Pak můžeme v důsledku (2.14) psát pro  $h < h_0(\epsilon)$

$$(2.15) \quad \int_{\Omega} (\tilde{E}_h - \tilde{E})^2 dx \geq \int_{E \cap (\Omega - \Omega_{\epsilon})} (\tilde{E}_h - \tilde{E})^2 dx = \int_{E \cap (\Omega - \Omega_{\epsilon})} (\tilde{E})^2 dx > 0.$$

Na druhé straně však z konvergence (2.11) a z Rellichovy věty (o totální spojitosti vnoření  $H^1(\Omega) \hookrightarrow L^2(\Omega)$ )

plyne

$$\tilde{E}_h \rightarrow \tilde{E} \quad \text{v} \quad L^2(\Omega),$$

což je spor s (2.15). Tedy platí (2.12).

Definujeme-li nyní funkci  $t$  jako restrikci

$$t = \tilde{E}|_{\Omega_{\epsilon}},$$

pak je nutně  $t \in V(\Omega_{\epsilon})$ .

Ukážeme dále, že  $\tilde{E} + t$  splňuje stavovou rovnici (2.1), tj.  $t = t(\epsilon)$ . Nechť  $w \in V(\Omega_{\epsilon})$  je libovolná testovací funkce. Existuje posloupnost  $\{w_{\epsilon}\}_{\epsilon>0}$ ,  $w_{\epsilon} \in C^{\infty}(\bar{\Omega}_{\epsilon}) \cap V(\Omega_{\epsilon})$  taková, že  $\text{supp } w_{\epsilon} \cap \partial K_k = \emptyset$ ,  $k=1, \dots, N_0$

(kde  $K_k$  jsou vnitřní kruhy v oblasti  $\Omega_\alpha$  ), a

$$(2.15') \quad w_{\alpha\varepsilon} \rightarrow w \quad \text{v } H^1(\Omega_\alpha) \quad \text{pro } \varepsilon \rightarrow 0.$$

Uvažujme pevné  $w_\alpha$ , prodlužme je nulou na  $\partial\Omega_\alpha$ , takže vznikne funkce  $\tilde{w}_\alpha$ . Jelikož

$$\text{supp. } \tilde{w}_\alpha \subset \Omega_h$$

pro dostatečně malá  $h$ , máme  $\tilde{w}_\alpha \in V(\Omega_h)$  pro  $h < h_0$ .

Nechť  $\tilde{w}_{\alpha h} \in H_h(\Omega_h)$  je interpolace funkce  $\tilde{w}_\alpha$  na triangulaci  $T_h(\alpha(h))$ . Je známo, že platí

$$(2.16) \quad \|\tilde{w}_{\alpha h} - \tilde{w}_\alpha\|_{1, \Omega_h} \leq Ch \|\tilde{w}_\alpha\|_{2, \Omega_h} = Ch \|\tilde{w}_\alpha\|_{2, \sigma},$$

protože systém triangulací  $\{T_h(\alpha(h))\}$ ,  $h \rightarrow 0$ , je regulární. Zřejmě je i  $\tilde{w}_{\alpha h} \in V_h$ , tedy můžeme dosadit do rovnice (2.4) a dostaneme

$$(2.17) \quad \int_{\Omega_h} a \nabla \tilde{t}_h \cdot \nabla \tilde{w}_{\alpha h} dx + \int_{\partial\Omega_1} \tilde{t}_h \tilde{w}_{\alpha h} ds = \\ = \int_{\partial\Omega_0} q \tilde{w}_{\alpha h} ds - \int_{\partial\Omega_1} \alpha \nabla \tilde{t}_h \tilde{w}_{\alpha h} ds.$$

Při limitním přechodu  $h \rightarrow 0$  využijeme (2.11) a (2.16), takže vychází

$$\int_{\Omega_h} a \nabla \tilde{t}_h \cdot \nabla \tilde{w}_{\alpha h} dx = \int_{\Omega} a \nabla \tilde{t}_h \cdot \nabla \tilde{w}_{\alpha h} dx \rightarrow \int_{\Omega} a \nabla \tilde{t} \cdot \nabla \tilde{w}_\alpha dx = \\ = \int_{\Omega_\alpha} a \nabla t \cdot \nabla w_\alpha dx,$$

$$\int_{\partial\Omega_1} \tilde{t}_h \tilde{w}_{\alpha h} ds \rightarrow \int_{\partial\Omega_1} \tilde{t} \tilde{w}_\alpha ds = \int_{\partial\Omega_1} \alpha t w_\alpha ds.$$

(Zde můžeme využít např. toho, že zobrazení "stop"

$$\gamma: H^1(\Omega) \rightarrow L^2(\partial\Omega) \quad \text{je totálně spojité}.$$

Limita pravé strany (2.17) je zřejmě

$$\int_{\partial\Omega_0} q w_\alpha ds - \int_{\partial\Omega_1} \alpha \bar{v}_0 w_\alpha ds.$$

Máme tedy v limitě rovnici

$$\int_{\Omega_\alpha} \alpha \nabla t \cdot \nabla w_\alpha dx + \int_{\partial\Omega_1} \alpha t w_\alpha ds = \int_{\partial\Omega_0} q w_\alpha ds - \int_{\partial\Omega_1} \alpha \bar{v}_0 w_\alpha ds.$$

Konečně přejdeme k limitě s  $\alpha \rightarrow 0$  a užijeme (2.15').

Dostaneme v limitě

$$\int_{\Omega_\alpha} \alpha \nabla t \cdot \nabla w dx + \int_{\partial\Omega_1} \alpha t w ds = \int_{\partial\Omega_0} q w ds - \int_{\partial\Omega_1} \alpha \bar{v}_0 w ds.$$

Tedy funkce  $t$  splňuje stavovou rovnici a můžeme psát

$t = t(\alpha)$ . Protože tato rovnice má jediné řešení, plyně odtud, že celá posloupnost  $\{\tilde{T}_h\}$  konverguje slabě v  $H^1(\Omega)$  k funkci  $\tilde{t} = \tilde{t}(\alpha)$ .

Lemma 2.3. Nechť je dána posloupnost  $\{\alpha(h)\}$ ,  $h \rightarrow 0$  stejná jako v předpokladech lemmatu 2. Uvažujme opět regulární posloupnost triangulací  $\{\tilde{T}_h(\Omega_h)\}$ , kde  $\Omega_h = \Omega_h(\alpha(h))$  a přibližných řešení  $u_h$  druhé stavové rovnice (2.5), přičemž na pravé straně dosazujeme přibližné řešení  $t_h$  rovnice (2.4).

Definujme oblasti

$$G_m = \left\{ x \in \Omega_\alpha : |x - s^{(k)}| > g_k + \frac{1}{m}, \quad k=1, \dots, N_0 \right\}, \quad m=1, 2, \dots$$

Potom existuje funkce  $u \in V_p(\Omega_\alpha)$  taková, že

$$u_h|_{G_m} \rightarrow u|_{G_m} \quad (\text{slabě}) \quad \forall [H^1(G_m)]^2$$

pro všechna dostatečně velká  $m$  a  $h \rightarrow 0$ . Tato funkce je řešením druhé stavové rovnice (2.2) na  $\Omega_\alpha$ , tj.  $u = u(\alpha)$ .

Důkaz. Dosadíme-li do (2.5) za testovací funkci  $v_h = u_h$ , dostaneme

$$\begin{aligned} 2\mu_0 |u_h|_{\varepsilon, \Omega_h}^2 &\leq \int_{\Omega_h} \tilde{\tau}_{ij}(u_h) \varepsilon_{ij}(u_h) dx = \\ &= \int_{\Omega_h} k_0 (\tilde{\sigma}_0 + t_h) \operatorname{div} u_h dx \leq \\ &\leq C (\|\tilde{\sigma}_0\|_{0,\sigma} + \|\tilde{t}_h\|_{0,\sigma}) \|\varepsilon_{11}(u_h) + \varepsilon_{22}(u_h)\|_{0,\Omega_h}, \end{aligned}$$

kde jsme použili označení

$$|u_h|_{\varepsilon, \Omega_h}^2 = \int_{\Omega_h} \sum_{i,j=1}^2 \varepsilon_{ij}^2(u_h) dx.$$

Na základě odhadu (2.10) odvodíme odtud, že platí

$$2\mu_0 |u_h|_{\varepsilon, \Omega_h}^2 \leq C_1 |u_h|_{\varepsilon, \Omega_h},$$

tedy

$$(2.18) \quad |u_h|_{\varepsilon, \Omega_h} \leq C_2 \quad \forall h \leq h_1.$$

Pro dostatečně malé  $h_0(m)$  a  $h < h_0(m)$   
zřejmě platí  $\Omega_h \supset \overline{G}_m$ .

Potom

$$(2.19) \quad |u_h|_{\varepsilon, G_m} \leq |u_h|_{\varepsilon, \Omega_h} \leq C_2 \quad \forall h < h_0(m).$$

Existuje konstanta  $C_1(m)$  taková, že platí nerovnost Kornova typu (viz např. /2/)

$$(2.20) \quad |u_h|_{\varepsilon, G_m} \geq C_1(m) \|u_h\|_{1, G_m}.$$

Vskutku, protože  $u_h \in V_p(\Omega_h)$ , také restrikce  $u_h|_{G_m} \in V_p(G_m)$ .

Z (2.19), (2.20) vyplývá, že

$$(2.21) \quad \|u_h\|_{1, G_m} \leq \frac{C_2}{C_1(m)} \quad \forall h < h_1(m).$$

Protože  $V_p(G_m)$  je reflexívny Banachův prostor, existuje prvek  $u^{(m)} \in [H^1(G_m)]^2$  a podposloupnost  $\{u_{h_1}\}$  taková, že pro  $h_1 \rightarrow 0$  platí

$$(2.22) \quad u_{h_1}|_{G_m} \rightharpoonup u^{(m)} \quad (\text{slabě}) \text{ v } [H^1(G_m)]^2.$$

Pro oblast  $G_{m+1}$  dostaneme analogické tvrzení, jestliže vybereme vhodnou podposloupnost  $\{u_{h_2}\}$  z posloupnosti  $\{u_{h_1}\}$  atd. Uvažujme nyní diagonální podposloupnost  $\{u_{h_0}\}$  všech posloupností  $\{u_{h_1}\}, \{u_{h_2}\}, \dots$ .

Existuje funkce  $u \in V_p(\Omega_e)$  taková, že

$$(2.23) \quad u_{h_0} \rightharpoonup u|_{G_m} \quad (\text{slabě}) \text{ v } [H^1(G_m)]^2 \quad \forall m.$$

Vskutku, abychom toto tvrzení dokázali, uvědomíme si nejprve, že existence zobecněných derivací  $\partial u_i / \partial x_j$  plyne z definice; dále je

$$(2.24) \quad |u^{(m)}|_{\varepsilon, G_m} \leq C_2 \quad \forall m,$$

neboť množina  $M_m = \{v \in [H^1(G_m)]^2 : |v|_{\epsilon, G_m} \leq C_2\}$

je slabě uzavřená a platí (2.19), (2.22).

Konečně můžeme dokázat, že pro všechna přirozená čísla  $m, k$  platí na  $G_m$  skoro všude

$$(2.25) \quad u^{(m)} = u^{(m+k)}|_{G_m}.$$

Vskutku, nechť pro dvojici  $\{m, k\}$  právě na množině  $E \subset G_m$ , més  $E > 0$ . posloupnosti hodnot funkcionálů

$$\langle \varphi, u_{h_0} \rangle_r = \int_{G_r} \varphi \cdot u_{h_0} dx,$$

kde

$$r = m, \quad r = m+k, \quad h_0 \rightarrow 0,$$

$$\varphi \in [L^2(\Omega_e)]^2, \quad \text{supp } \varphi \subset E.$$

Zřejmě je

$$E \subset G_m \subset G_{m+k}$$

tedy

$$\langle \varphi, u_{h_0} \rangle_m = \langle \varphi, u_{h_0} \rangle_{m+k} = \int_E \varphi \cdot u_{h_0} dx.$$

Přejdeme-li k limitě  $h_0 \rightarrow 0$ , dostaneme

$$\langle \varphi, u^{(m)} \rangle_m = \langle \varphi, u^{(m+k)} \rangle_{m+k},$$

neboli

$$\int_{\Omega_e} \varphi \cdot (u^{(m)} - u^{(m+k)}) dx = 0.$$

Zvolíme-li  $\varphi = u^{(m)} - u^{(m+k)}$  (prodloužené nulou na  $\Omega_e - G_m$ , resp.  $\Omega_e - G_{m+k}$ ), dojdeme ke sporu s předpokladem. Platí tedy (2.25) a můžeme definovat

$$(2.26) \quad u|_{G_m} = u^{(m)}.$$

Z nerovnosti (2.24) nyní plyně, že

$$\|u\|_{\varepsilon, \Omega_\varepsilon}^2 = \lim_{m \rightarrow \infty} \|u^{(m)}\|_{\varepsilon, G_m}^2 \leq C_2.$$

Snadno dokážeme, že  $u \in V_p(\Omega_\varepsilon)$ . K tomu stačí ověřit podmínky na  $\Gamma_1$ . V důsledku (2.26) pro stopy na  $\Gamma_1$  platí

$$(2.27) \quad u|_{\Gamma_1} = u^{(m)}|_{\Gamma_1},$$

kde  $m$  je libovolné a podprostor  $V_p(G_m)$  je slabě uzavřený v  $[H^1(G_m)]^2$ . Protože

$$u_h|_{G_m} \in V_p(G_m) \quad \forall h,$$

slabá limita  $u^{(m)}$  leží také ve  $V_p(G_m)$ . V důsledku (2.27) je tedy  $u \in V_p(\Omega_\varepsilon)$ . Platí tedy i Kornova nerovnost a

$$\|u\|_{\varepsilon, \Omega_\varepsilon}^2 \leq C \|u\|_{\varepsilon, \Omega_\varepsilon}^2 \leq C \quad C_2 < \infty.$$

Dále ukážeme, že funkce  $u$  splňuje druhou stavovou rovnici (2.2), tj. můžeme psát  $u = u(\alpha)$ .

Zvolme testovací funkci  $v \in V_p(\Omega_\varepsilon)$  libovolně.

Prodlužme  $v$  (např. podle Babiče-Nikolského) na oblast  $\bar{\Omega}_1$ , takže vznikne funkce  $\tilde{v} \in [H^1(\bar{\Omega})]^2$  a platí

$$(2.28) \quad \tilde{v}|_{\Omega_h} \in V_p(\Omega_h) \quad \forall h.$$

Existuje posloupnost funkcí  $v_\alpha \in [C^\infty(\bar{\Omega})]^2$  taková, že

$$(2.29) \quad v_\alpha \rightarrow \tilde{v} \quad v [H^1(\bar{\Omega})]^2 \text{ pro } \alpha \rightarrow 0.$$

Interpolaci funkce  $v_\alpha$  v prostoru  $[H_h(\Omega_h)]^2$  označme  $v_{\alpha h}$ . Máme pak

$$(2.30) \quad \|v_{\alpha h} - v_\alpha\|_{1, \Omega_h} \leq C_h \|v_\alpha\|_{2, \bar{\Omega}}.$$

Protože však  $v_{\alpha h}$  nesplňuje podmínky na  $\Gamma_1$ , přidáme "opravy"  $z_{\alpha h} \in [P_1(\Omega_h)]^2$  ve tvaru

$$z_{\alpha h_1} = a_1 - b(x_2 - x_{20}),$$

$$z_{\alpha h_2} = a_2 + b(x_1 - x_{10}),$$

kde  $x_{10}$  jsou souřadnice těžiště úsečky  $\Gamma_1$ . Konstanty  $a_1, a_2, b$  vypočteme tak, aby součet  $v_{\alpha h} + z_{\alpha h}$  splňoval podmínky na  $\Gamma_1$ , tedy klademe

$$\int_{\Gamma_1} (a_1 - b(x_2 - x_{20})) ds + \int_{\Gamma_1} v_{\alpha h_1} ds = 0,$$

$$\int_{\Gamma_1} (a_2 + b(x_1 - x_{10})) ds + \int_{\Gamma_1} v_{\alpha h_2} ds = 0,$$

$$\int_{\Gamma_1} [x_1(a_2 + b(x_1 - x_{10})) - x_2(a_1 - b(x_2 - x_{20}))] ds + \\ + \int_{\Gamma_1} (x_1 v_{\alpha h_2} - x_2 v_{\alpha h_1}) ds = 0.$$

Přímým výpočtem a na základě konvergence (2.29) a (2.30) odvodíme

$$a_2 = -(\text{mas } \Gamma_1)^{-1} \int_{\Gamma_1} v_{\alpha h_1} ds \rightarrow 0$$

pro  $h \rightarrow 0, \alpha \rightarrow 0, h = h(\alpha)$ . Vskutku, pro  
 $h < h_0$  je  $\Omega_h \supset \overline{G}_{m_0}$ , a tedy podle (2.30)

$$\begin{aligned} \|v_{\alpha h} - v_\alpha\|_{0, \Gamma_1} &\leq C \|v_{\alpha h} - v_\alpha\|_{1, G_{m_0}} \leq \\ &\leq C \|v_{\alpha h} - v_\alpha\|_{1, \Omega_h} \leq C_1 h \|v_\alpha\|_{2, \sigma}, \end{aligned}$$

$$\int_{\Gamma_1} v_{\alpha h i} ds \rightarrow \int_{\Gamma_1} v_{\alpha i} ds \quad \text{pro } h \rightarrow 0, i=1,2.$$

Na základě (2.29) však máme

$$\int_{\Gamma_1} v_{\alpha i} ds \rightarrow \int_{\Gamma_1} \tilde{v}_i ds = \int_{\Gamma_1} v_i ds = 0.$$

Podobně pro  $b$  dostaneme rovnici

$$\begin{aligned} b \int_{\Gamma_1} [(x_1 - x_{10})^2 + (x_2 - x_{20})^2] ds &= a_1 x_{20} \operatorname{mes} \Gamma_1 - a_2 x_{10} \operatorname{mes} \Gamma_1 - \\ &- \int_{\Gamma_1} (x_1 v_{\alpha h 2} - x_2 v_{\alpha h 1}) ds \end{aligned}$$

a dokážeme, že

$$b \rightarrow 0 \quad \text{pro } h = h(\alpha) \rightarrow 0, \alpha \rightarrow 0.$$

Celkem tedy pro  $h = h(\alpha) \rightarrow 0, \alpha \rightarrow 0$  platí

$$(2.31) \quad \|\Xi_{\alpha h}\|_{1, \Omega_h} = \|\Xi_{\alpha h}\|_{1, \sigma} \rightarrow 0.$$

Označíme-li

$$v_h^\circ = v_{\alpha h} + \Xi_{\alpha h} \in V_{ph}(\Omega_h),$$

potom platí

$$(2.32) \quad \|v_h^\circ - \tilde{v}\|_{1, \Omega_h} \rightarrow 0 \quad \text{pro } h \rightarrow 0.$$

Vskutku, můžeme psát - pro normy  $\|\cdot\|_{1, \Omega_h}$ :

$$\|v_h^\circ - \tilde{v}\| = \|v_{\alpha h} - \tilde{v} + \Xi_{\alpha h}\| \leq \|v_{\alpha h} - v_\alpha\| + \|v_\alpha - \tilde{v}\| + \|\Xi_{\alpha h}\|$$

a pro vhodně vybrané  $\bar{\omega}$  a  $h < h(\bar{\omega})$  bude každý ze tří členů pravé strany menší než  $\epsilon/3$ , využijeme-li (2.30), (2.29) a (2.31).

Pišme nadále přibližnou stavovou rovnici (2.5) po dosazení  $v_h = v_h^\circ$  ve tvaru

$$(2.33) ((u_h, v_h^\circ))_{\Omega_h} = k_0(\bar{v}_0 + t_h, \operatorname{div} v_h^\circ)_{0, \Omega_h}.$$

Uvažujme posloupnost  $\{h_\alpha\}$ ,  $h_\alpha \rightarrow 0$ , ale pro jednoduchost vynechme v dalším index „D“. Můžeme psát

$$\begin{aligned} (2.34) & |((u_h, v_h^\circ))_{\Omega_h} - ((u, v))_{G_m}| \leq \\ & \leq |((u_h - u, v))_{G_m}| + |((u_h, v_h^\circ - v))_{G_m}| + |((u_h, v_h^\circ))_{\Omega_h - G_m}| = \\ & = I_1 + I_2 + I_3. \end{aligned}$$

Vzhledem ke konvergenci (2.23) je

$$(2.35) \quad I_1 < \epsilon/6 \quad \text{pro } h < h_1(m).$$

Na základě (2.34) a (2.18) lze odhadnout

$$(2.36) \quad I_2 = |((u_h, v_h^\circ - v))_{G_m}| \leq C \|u_h\|_{\mathcal{E}, G_m} \|v_h^\circ - v\|_{1, G_m} < \epsilon/6$$

pro  $h < h_2$ .

Odhad členu  $I_3$  je složitější. Pro interpolaci  $v_{\omega h}$  na trojúhelníku  $T \in \mathcal{T}_h(\Omega_h)$  platí

$$(2.37) \quad \|v_{\omega h}\|_{1, T} \leq C \|v_{\omega h}\|_{2, T} \quad \forall T \in \mathcal{T}_h(\Omega_h).$$

Nechť  $G_m^h \subset \Omega_h$  je nejmenší sjednocení  $U$  trojúhelníků  $T \in \mathcal{T}_h(\Omega_h)$  takové, že

$$G_m^h = U \supset \Omega_h - G_m.$$

Zřejmě platí

$$(2.38) \quad \text{mes } G_m^h \leq \text{mes}(\Omega_\varepsilon - G_m) + \sum_{k=1}^{N_0} \pi \left[ \left( g_k + \frac{1}{m} + h \right)^2 - \left( g_k + \frac{1}{m} \right)^2 \right] + \text{mes}(\Omega_h - \Omega_\varepsilon).$$

Dále máme

$$(2.39) \quad \|v_h^\circ\|_{1, \Omega_h - G_m} \leq \|v_h^\circ\|_{1, G_m^h} = \|v_{\alpha h} + z_{\alpha h}\|_{1, G_m^h} \leq \\ \leq \|v_{\alpha h}\|_{1, G_m^h} + \|z_{\alpha h}\|_{1, G_m^h}$$

a vzhledem k (2.37) a (2.38)

$$(2.40) \quad \|v_{\alpha h}\|_{1, G_m^h}^2 = \sum_{T \in G_m^h} \|v_{\alpha h}\|_{1, T}^2 \leq C \|v_{\alpha h}\|_{2, G_m^h}^2.$$

Můžeme tedy psát vzhledem k (2.18), (2.39), (2.40)

$$(2.41) \quad |I_3| = |((u_h, v_h^\circ))_{\Omega_h - G_m}| \leq C \|u_h\|_{\varepsilon, \Omega_h} \|v_h^\circ\|_{1, \Omega_h - G_m} \leq \\ \leq \tilde{C} (\|v_{\alpha h}\|_{2, G_m^h} + \|z_{\alpha h}\|_{1, \Omega_h}).$$

Shrneme-li odhady (2.34), (2.35), (2.36) a (2.41), odvodíme, že

$$\begin{aligned} & |((u_h, v_h^\circ))_{\Omega_h} - ((u, v))_{\Omega_\varepsilon}| \leq \\ & \leq |((u_h, v_h^\circ))_{\Omega_h} - ((u, v))_{G_m}| + |((u, v))_{\Omega_\varepsilon - G_m}| \leq \\ & \leq \frac{\varepsilon}{3} + C (\|v_{\alpha h}\|_{2, G_m^h} + \|z_{\alpha h}\|_{1, \Omega_h}) + C \|u\|_{1, \Omega_\varepsilon} \|v\|_{1, \Omega_\varepsilon - G_m} \end{aligned}$$

pro  $h = h_2(m)$ . Užijeme-li ještě odhadů (2.38) a (2.31), usoudíme, že

$$(2.42) \quad ((u_h, v_h^\circ))_{\Omega_h} \rightarrow ((u, v))_{\Omega_\varepsilon} \quad \text{pro } h \rightarrow 0.$$

Vyšetřme dále limity členů na pravé straně rovnice (2.33).

Pišme

$$\begin{aligned} & |(\mathbf{t}_h, \operatorname{div} v_h^\circ)_{0, \Omega_h} - (\mathbf{t}, \operatorname{div} v)_{0, \Omega_e}| = \\ & = |(\tilde{\mathbf{t}}_h, \operatorname{div} v_h^\circ)_{0, \sigma} - (\tilde{\mathbf{t}}, \operatorname{div} \tilde{v})_{0, \sigma}| \leq \\ & \leq |(\tilde{\mathbf{t}}_h, \operatorname{div} (v_h^\circ - \tilde{v}))_{0, \sigma}| + |(\tilde{\mathbf{t}}_h - \tilde{\mathbf{t}}, \operatorname{div} \tilde{v})_{0, \sigma}| = I_4 + I_5. \end{aligned}$$

Z odhadu (2.10) a z (2.32) plyne, že

$$I_4 = |(\tilde{\mathbf{t}}_h, \operatorname{div} (v_h^\circ - \tilde{v}))_{0, \Omega_h}| \leq C \|v_h^\circ - \tilde{v}\|_{1, \Omega_h} \rightarrow 0 \quad \text{pro } h \rightarrow 0.$$

Člen  $I_5$  konverguje k nule s  $h \rightarrow 0$  díky (2.9) z Lemmatu 2.2.  
Odtud odvodíme, že pro  $h \rightarrow 0$  platí

$$(2.43) \quad (\mathbf{t}_h, \operatorname{div} v_h^\circ)_{0, \Omega_h} \rightarrow (\mathbf{t}, \operatorname{div} v)_{0, \Omega_e}.$$

Dále je

$$\begin{aligned} & |(\mathcal{V}_0, \operatorname{div} v_h^\circ)_{0, \Omega_h} - (\mathcal{V}_0, \operatorname{div} v)_{0, \Omega_e}| \leq \\ & = |\mathcal{V}_0| \left\{ \int_{\Omega_h} \operatorname{div} (v_h^\circ - \tilde{v}) dx + \left| \int_{\Omega_h} \operatorname{div} \tilde{v} dx - \int_{\Omega_e} \operatorname{div} v dx \right| \right\} = \\ & = I_6 + I_7. \end{aligned}$$

Vzhledem k (2.32) je  $I_6 \rightarrow 0$  pro  $h \rightarrow 0$ . Konečně je také

$$I_7 = \left| \int_{\Omega_h - \Omega_e} \operatorname{div} \tilde{v} dx \right| \rightarrow 0$$

pro  $h \rightarrow 0$ , neboť

$$\operatorname{mes}(\Omega_h - \Omega_e) \rightarrow 0.$$

Odtud plyně, že

$$(2.44) \quad (\mathcal{V}_0, \operatorname{div} v_h^\circ)_{0, \Omega_h} \rightarrow (\mathcal{V}_0, \operatorname{div} v)_{0, \Omega_e}.$$

Na základě vztahů (2.42), (2.43) a (2.44) vychází tedy z rovnice (2.33) limitním přechodem  $h \rightarrow 0$  rovnice

$$((u, v))_{\Omega_e} = k_0 (\vartheta_0 + t, \operatorname{div} v)_{0, \Omega_e}.$$

To znamená, že  $u$  splňuje druhou stavovou rovnici (2.2) při libovolném  $v \in V_p(\Omega_e)$ ; můžeme tedy psát  $u = u(\alpha)$ .

Protože řešení rovnice (2.2) je jediné, platí tvrzení Lemmatu 3 o slabé konvergenci v  $[H^1(G_m)]^2$  nejen pro diagonální podposloupnost  $\{h_D\}$ , nýbrž pro celou původní posloupnost  $\{h\}$ . Tím je Lemma 2.3 dokázáno.

Lemma 2.4. Nechť jsou splněny předpoklady Lemmatu 2.3.

Pak platí

$$(2.45) \quad \liminf_{h \rightarrow 0} f_h(\alpha(h), u_h) \geq f(\alpha, u(\alpha)).$$

Důkaz. Pišme nejprve (srov. /1/ - část I, vzorce (13), (14))

$$\Gamma^2(\mathcal{T}(u)) = Q(u),$$

takže

$$f_h(\alpha(h), u_h) = (\operatorname{mes} \Omega_h)^{-1} \int_{\Omega_h} Q(u_h) dx.$$

Forma  $Q$  je kvadratická ve složkách deformace a platí

$$(2.46) \quad Q(u_h) \geq \mu_0 \sum_{i,j=1}^4 \epsilon_{ij}^2(u_h) \geq 0.$$

Můžeme psát

$$(2.47) \quad (\text{mes } \Omega_h)^{-1} \int_{\Omega_h} Q(u_h) dx = (\text{mes } \Omega_e)^{-1} \int_{\Omega_h} Q(u_h) dx + \\ + ((\text{mes } \Omega_h)^{-1} - (\text{mes } \Omega_e)^{-1}) \int_{\Omega_h} Q(u_h) dx.$$

Vzhledem k (2.46) máme pro libovolné  $m$  nerovnosti

$$(2.48) \quad \liminf_{h \rightarrow 0} (\text{mes } \Omega_e)^{-1} \int_{\Omega_h} Q(u_h) dx \geq$$

$$\geq \liminf_{h \rightarrow 0} (\text{mes } \Omega_e)^{-1} \int_{G_m} Q(u_h) dx \geq (\text{mes } \Omega_e)^{-1} \int_{G_m} Q(u) dx,$$

neboť zkoumaný integrál je slabě zdola spojitým funkcionálem a posloupnost  $\{u_h\}$  slabě konverguje v  $[H^1(G_m)]^2$  na základě Lemmatu 2.3.

Dále pro všechna  $h \leq h_1$ , vzhledem k (2.18) platí

$$0 \leq \int_{\Omega_h} Q(u_h) dx \leq C \|u_h\|_{\varepsilon, \Omega_h}^2 \leq C_1.$$

Pak snadno odvodíme, že

$$(2.49) \quad ((\text{mes } \Omega_h)^{-1} - (\text{mes } \Omega_e)^{-1}) \int_{\Omega_h} Q(u_h) dx \leq C |\text{mes}(\Omega_h) - \text{mes} \Omega_e| \rightarrow \\ \rightarrow 0 \quad \text{pro } h \rightarrow 0.$$

Kombinací (2.48) a (2.49) odvodíme podle (2.47)

$$\liminf_{h \rightarrow 0} j_h(\alpha(h), u_h) \geq (\text{mes } \Omega_e)^{-1} \int_{G_m} Q(u) dx + m.$$

Přejdeme-li ještě k limitě  $m \rightarrow \infty$ , odvodíme tvrzení (2.45).

Lemma 2.5. Uvažujme pevnou oblast  $\Omega_e$ ,  $e \in \mathcal{U}_{ad}$  a regulární posloupnost triangulací  $T_h(\Omega_h)$ , kde  $\Omega_h = \Omega_h(e)$  jsou polygonální approximace oblasti  $\Omega_e$ ,  $h \rightarrow 0$ .

Nechť  $\tilde{u} \in [H^1(\Omega)]^2$  je libovolné rozšíření funkce  
 $u \equiv u(\epsilon)$  na oblast  $\Omega$  a  $u_h$  jsou přibližná řešení rovnic (2.5), přičemž na pravé straně dosazujeme přibližná řešení  $t_h$  rovnice (2.4).

Pak platí

$$(2.50) \quad |\tilde{u} - u_h|_{\mathcal{E}, \Omega_h} \rightarrow 0 \quad \text{pro } h \rightarrow 0.$$

Důkaz. Zavedeme označení

$$(2.51) \quad \begin{aligned} f_h(w_h) &= k_0 (\nabla_0 + t_h, \operatorname{div} w_h)_{0, \Omega_h} \\ f(w_h) &= k_0 (\nabla_0 + t, \operatorname{div} w_h)_{0, \Omega_a}. \end{aligned}$$

Na základě rovnice (2.5) můžeme pro libovolné  $v_h \in V_{ph}(\Omega_h)$  psát

$$\begin{aligned} 2\mu_0 |u_h - v_h|_{\mathcal{E}, \Omega_h}^2 &\leq ((u_h - v_h, u_h - v_h))_{\Omega_h} = \\ &= ((\tilde{u} - v_h, u_h - v_h))_{\Omega_h} + \{f_h(u_h - v_h) - ((\tilde{u}, u_h - v_h))_{\Omega_h}\} \leq \\ &\leq C(|\tilde{u} - v_h|_{\mathcal{E}, \Omega_h} |u_h - v_h|_{\mathcal{E}, \Omega_h} + |((\tilde{u}, u_h - v_h))_{\Omega_h} - f_h(u_h - v_h)|). \end{aligned}$$

Po zkrácení dostaneme

$$|u_h - v_h|_{\mathcal{E}, \Omega_h} \leq C_1 (|\tilde{u} - v_h|_{\mathcal{E}, \Omega_h} + \sup_{w_h \in V_{ph}} \frac{|f_h(w_h) - ((\tilde{u}, w_h))_{\Omega_h}|}{|w_h|_{\mathcal{E}, \Omega_h}})$$

a odtud plynne

$$(2.52) |\tilde{u} - u_h|_{\varepsilon, \Omega_h} = |\tilde{u} - v_h|_{\varepsilon, \Omega_h} + |v_h - u_h|_{\varepsilon, \Omega_h} \leq$$

$$\leq C_2 \left( \inf_{v_h \in V_{ph}} |\tilde{u} - v_h|_{\varepsilon, \Omega_h} + \sup_{w_h \in V_{ph}} \frac{|f_h(w_h) - ((\tilde{u}, w_h))_{\Omega_h}|}{|w_h|_{\varepsilon, \Omega_h}} \right)$$

Platí dále

$$((\tilde{u}, w_h))_{\Omega_h} = ((u, w_h))_{\Omega_e} + ((\tilde{u}, w_h))_{\Omega_h - \Omega_e}$$

a protože  $w_h \in V_{ph}(\Omega_h)$  a  $u$  je řešení rovnice (2.2), máme

$$((u, w_h))_{\Omega_e} = f(w_h).$$

Platí tedy

$$|((\tilde{u}, w_h))_{\Omega_h} - f(w_h)| \leq |f(w_h) - f_h(w_h)| + |((\tilde{u}, w_h))_{\Omega_h - \Omega_e}|.$$

Máme však také

$$|(t_h, \operatorname{div} w_h)_{0, \Omega_h} - (t, \operatorname{div} w_h)_{0, \Omega_e}| =$$

$$= |(\tilde{t}_h - \tilde{t}, \operatorname{div} w_h)_{0, \Omega_h}| \leq C \|(\tilde{t}_h - \tilde{t})\|_{0, \Omega_h} |w_h|_{\varepsilon, \Omega_h},$$

$$|(\mathcal{D}_0, \operatorname{div} w_h)_{0, \Omega_h} - (\mathcal{D}_0, \operatorname{div} w_h)_{0, \Omega_e}| = |(\mathcal{D}_0, \operatorname{div} w_h)_{0, \Omega_h - \Omega_e}| \leq$$

$$\leq C \|\mathcal{D}_0\|_{0, \Omega_h - \Omega_e} |w_h|_{\varepsilon, \Omega_h},$$

tedy

$$|f_h(w_h) - f(w_h)| \leq C k_0 [\|\mathcal{V}_0\|_{0,\Omega_h-\Omega_e} + \|\tilde{\mathcal{E}}_h - \mathcal{E}\|_{0,\Omega_h}] |w_h|_{\varepsilon, \Omega_h}.$$

Protože je také

$$|(\tilde{u}, w_h)|_{\Omega_h-\Omega_e} \leq C \|\tilde{u}\|_{1, \Omega_h-\Omega_e} |w_h|_{\varepsilon, \Omega_h},$$

máme celkem

$$(2.53) \quad \frac{|f_h(w_h) - (\tilde{u}, w_h)|_{\Omega_h}}{|w_h|_{\varepsilon, \Omega_h}} \leq C_1 [\|\mathcal{V}_0\|_{0,\Omega_h-\Omega_e} + \|\tilde{\mathcal{E}}_h - \mathcal{E}\|_{0,\Omega_h} + \|\tilde{u}\|_{1,\Omega_h-\Omega_e}]$$

Použijeme-li ještě Lemma 2.2 (ve speciálním případě  $\alpha(h)=\alpha \neq h$ ) a Rellichovy věty, usoudíme, že pravá strana konverguje k nule pro  $h \rightarrow 0$ .

Abychom odhadli člen s infimum na pravé straně (2.52), sestrojíme k funkci  $u$  prvek  $u_h^* \in V_{ph}(\Omega_h)$  stejně jako jsme sestrojili  $v_h^*$  k danému  $v$  (srovnej (2.28) - (2.32)), takže platí (viz (2.32))

$$(2.54) \quad \|u_h^* - \tilde{u}\|_{1, \Omega_h} \rightarrow 0 \quad \text{pro } h \rightarrow 0$$

Pak je zřejmě také

$$|\tilde{u} - u_h^*|_{\varepsilon, \Omega_h} \rightarrow 0$$

a dosadíme-li toto spolu s (2.53) do (2.52), plyně odtud konvergence v seminormě (2.50).

Dále je

$$|(\tilde{u}, w_h)|_{\Omega_h-\Omega_e} \leq C \|\tilde{u}\|_{1, \Omega_h-\Omega_e} \|w_h\|_{1, \Omega_h}$$

takže celkově dostáváme pro  $h \rightarrow 0$

$$(2.58) \quad \frac{|(\tilde{u}, w_h)|_{\Omega_h} - f_h(w_h)|}{\|w_h\|_{1, \Omega_h}} \leq C_1 (\|\tilde{\mathcal{E}}_h - \mathcal{E}\|_{0, \Omega_h} + \|\mathcal{V}_0\|_{0, \Omega_h-\Omega_e} + \|\tilde{u}\|_{1, \Omega_h-\Omega_e}) \rightarrow 0,$$

jestliže použijeme také Lemma 2.2 (ve speciálním případě

$$\alpha(h) = \alpha + h) \quad \text{a Rellichovy věty.}$$

Abychom odhadli člen s infimum na pravé straně (2.53), k funkci  $u$  sestrojíme  $u_h^0 \in V_{ph}(\Omega_h)$  stejně jako jsme sestrojili  $v_h^0$  k danému  $v$  (viz (2.28) - (2.32)), takže platí (viz (2.32)).

$$(2.59) \quad \|u_h^0 - \tilde{u}\|_{1,\Omega_h} \rightarrow 0 \quad \text{pro } h \rightarrow 0.$$

Dosadíme-li (2.58) do pravé strany (2.53) a užijeme (2.59), plyne odtud konvergence (2.50).

Lemma 2.6. Nechť jsou splněny předpoklady Lemmatu 2.5. Pak platí

$$j_h(\alpha, u_h) \rightarrow j(\alpha, u(\alpha)) \quad \text{pro } h \rightarrow 0.$$

Důkaz. Můžeme psát

$$\begin{aligned} |j_h(\alpha, u_h) - j(\alpha, u(\alpha))| &\leq (\text{mes } \Omega_\alpha)^{-1} \left| \int_{\Omega_h} Q(u_h) dx - \right. \\ &\quad \left. - \int_{\Omega_\alpha} Q(u) dx \right| + \left| ((\text{mes } \Omega_h)^{-1} - (\text{mes } \Omega_\alpha)^{-1}) \int_{\Omega_h} Q(u_h) dx \right| = \\ &= I_1 + I_2. \end{aligned}$$

Zřejmě platí

$$I_1 \cdot \text{mes } \Omega_\alpha = \left| \int_{\Omega_h} Q(u_h) dx - \int_{\Omega_h} Q(\tilde{u}) dx + \int_{\Omega_h - \Omega_\alpha} Q(\tilde{u}) dx \right| = I_3 + I_4.$$

Máme však

$$\begin{aligned} Q(u_h) - Q(\tilde{u}) &= \alpha_{ijkl} [\epsilon_{ij}(u_h) \epsilon_{kl}(u_h) - \epsilon_{ij}(\tilde{u}) \epsilon_{kl}(\tilde{u})] = \\ &= \alpha_{ijkl} \epsilon_{ij}(u_h - \tilde{u}) \epsilon_{kl}(u_h) + \alpha_{ijkl} \epsilon_{ij}(\tilde{u}) \epsilon_{kl}(u_h - \tilde{u}) = \\ &= q_1(u_h - \tilde{u}, u_h) + q_2(\tilde{u}, u_h - \tilde{u}), \end{aligned}$$

kde koeficienty  $a_{ijkl}$  jsou konstanty. Můžeme proto odhadnout na základě (2.18)

$$\begin{aligned} I_3 &\leq \int_{\Omega_h} |Q(u_h) - Q(\tilde{u})| dx \leq \int_{\Omega_h} q_1(u_h - \tilde{u}, u_h) dx + \\ &+ \int_{\Omega_h} q_2(\tilde{u}, u_h - \tilde{u}) dx \leq C \|u_h - \tilde{u}\|_{\epsilon, \Omega_h} (\|u_h\|_{\epsilon, \Omega_h} + \\ &+ \|\tilde{u}\|_{\epsilon, \Omega_h}) \leq C_1 \|u_h - \tilde{u}\|_{\epsilon, \Omega_h}. \end{aligned}$$

Z Lemmatu 2.5 nyní plyne, že

$$I_3 \rightarrow 0 \quad \text{pro } h \rightarrow 0.$$

Konvergance

$$I_4 \rightarrow 0 \quad \text{pro } h \rightarrow 0$$

je zřejmá. Celkem tedy máme

$$I_1 \rightarrow 0 \quad \text{pro } h \rightarrow 0.$$

Člen  $I_2$  odhadneme stejně jako v (2.49). Odtud plyne tvrzení Lemmatu.

Nyní jsme již schopni přistoupit k důkazu hlavní věty celé kapitoly o konvergenci přibližných řešení.

Věta 2.1. Nechť  $\{\alpha(h)\}$ ,  $h \rightarrow 0$ , je posloupnost řešení přibližných úloh optimalizace (2.6) při regulárním zjemňování triangulací.

Pak existuje podposloupnost  $\{\alpha(\tilde{h})\}$ ,  $\tilde{h} \rightarrow 0$  taková, že

$$(2.60) \quad \alpha(\tilde{h}) \rightarrow \alpha \quad \text{pro } \tilde{h} \rightarrow 0,$$

kde  $\alpha \in U_{ad}$  je řešení úlohy optimalizace (2.3).

Pro příslušná řešení  $\alpha$  a  $u_h^*$  přibližných stavových úloh

(2.4) a (2.5) platí

$$(2.61) \quad \tilde{E}_h \rightarrow \tilde{E}(\alpha) \quad (\text{slabě}) \text{ v prostoru } H^1(\Omega),$$

$$(2.62) \quad u_h^* \rightarrow u(\alpha) \quad (\text{slabě}) \text{ v prostoru } [H^1(G_m)]^2$$

kde  $\Omega = \Omega_1 - \bar{\Omega}_0$ ,  $\tilde{E}_h$ , resp.  $\tilde{E}(\alpha)$  jsou funkce  $\tilde{t}_h$ ,

resp.  $t(\alpha)$  prodloužené nulou na oblast  $\Omega - \Omega_h$ , resp.  $\Omega - \Omega_\alpha$

a  $G_m$  jsou oblasti definované v Lemmatu 2.3.

Důkaz. Protože množina  $U_{ad}$  je kompaktní, existuje podposloupnost  $\{\alpha(\tilde{h})\}$  taková, že platí (2.60).

Podle definice přibližné úlohy optimalizace (2.6) platí

$$(2.63) \quad j_h^*(\alpha(\tilde{h}), u_h^*) \leq j_h^*(\eta, u_h^*) \quad \forall \eta \in U_{ad}, \forall \tilde{h}.$$

Podle Lemmatu 2.4 platí

$$j(\alpha, u(\alpha)) = \liminf_{\tilde{h} \rightarrow 0} j_h^*(\alpha(\tilde{h}), u_h^*).$$

Z Lemmatu 2.6 plyne dále, že

$$\lim_{\tilde{h} \rightarrow 0} j_h^*(\eta, u_h^*) = j(\eta, u(\eta)).$$

Přejdeme-li tedy na obou stranách nerovnosti (2.63) k dolní limitě, dostaneme

$$j(\alpha, u(\alpha)) = \liminf_{\tilde{h} \rightarrow 0} j_h^*(\eta, u_h^*) = j(\eta, u(\eta)).$$

Jelikož  $\eta$  bylo libovolné,  $\alpha$  je řešením původní optimalizační úlohy (2.3).

Konvergence (2.61), resp. (2.62) je bezprostředním důsledkem Lemmatu 2.2, resp. Lemmatu 2.3.

Poznámka. Zkombinujeme-li existenci řešení přibližné optimalizační úlohy (2.6) pro každý parametr  $\hbar$  (viz /1/ část II) s Větou 2.1, dostáváme nový důkaz existence řešení původní optimalizační úlohy (2.3).

3. Abstraktní teorie řešení úloh optimálního návrhu oblastí a jejich approximace

Cílem této kapitoly je jednak zformulovat obecně úlohu optimálního návrhu oblasti jako speciální úlohu optimálního řešení a postulovat postačující podmínky, jež zaručí existenci řešení, jednak se zabývat problematikou numerického řešení těchto úloh.

Bud  $\sigma$  množina "přípustných variací" oblastí  $\Omega \subset \mathbb{R}^n$ , na nichž budeme řešit stavové úlohy (viz dále),  $\sigma \subset \widetilde{\sigma}$ , kde  $\widetilde{\sigma}$  bude eventuálně o něco širší třída těchto oblastí (zavedení systému  $\widetilde{\sigma}$  bude hrát svoji úlohu až v části, pojednávající o approximaci). V systému  $\widetilde{\sigma}$  zavedeme konvergenci  $\xrightarrow{\sigma}$  množin. Tzn. musíme umět říci co znamená, že posloupnost množin  $\Omega_n \in \widetilde{\sigma}$  konverguje k oblasti  $\Omega \in \widetilde{\sigma}$ .

Nyní každé  $\Omega \in \sigma$  přiřadíme Hilbertův prostor  $V(\Omega)$  funkcí, jež jsou definovány na  $\Omega$ . Jsou-li  $y_n \in V(\Omega_n)$ ,  $y \in V(\Omega)$  zdefinujeme dále, co znamená  $y_n \rightarrow y$  (poznamenejme, že  $y_n, y$  mají různé definiční obory).

Stavovou relací budeme rozumět zobrazení

$$\varphi: \Omega \in \sigma \rightarrow u(\Omega) \in V(\Omega).$$

Tato relace je dána např. řešením parciální diferenciální rovnice, či nerovnice na oblasti  $\Omega$ . Grafem  $\varphi$  budeme nazývat uspořádanou dvojici

$$G = \{(\Omega, u(\Omega))\},$$

kde  $\Omega \in \sigma$  a  $u(\Omega)$  je řešení stavové relace na  $\Omega$ .

Konečně definujme účelový funkcionál  $J(\Omega, y)$  pro  $y \in V(\Omega)$ ,  $\Omega \in \widetilde{\sigma}$ .

Abstraktní úlohou optimálního návrhu oblasti rozumíme problém

$$(P) \quad \left\{ \begin{array}{l} \text{nalézt } \Omega^* \in \Sigma \text{ takový, že} \\ J(\Omega^*, u(\Omega^*)) \leq J(\Omega, u(\Omega)) \quad \forall \Omega \in \Sigma. \end{array} \right.$$

Jedná se tedy o úlohu spadající do oblasti variačního počtu.

K tomu, abychom ukázali, že  $(P)$  má řešení, zformulujeme následující pořadavky:

- (i)  $\Sigma$  je kompaktní vzhledem k zavedené konvergenci  $\xrightarrow{\Sigma}$ .
- (ii) jestliže  $\Omega_n, \Omega \in \Sigma$ ,  $\Omega_n \xrightarrow{\Sigma} \Omega$ ,  $u(\Omega_n), u(\Omega)$  jsou řešení stavových relací na  $\Omega_n, \Omega$  pak existuje posloupnost  $\{u(\Omega_{n_k})\} \subset \{u(\Omega_n)\}$  taková, že

$$u(\Omega_{n_k}) \rightarrow u(\Omega).$$

- (iii)  $J$  je zdola polospojitý v následujícím smyslu:

$$\Omega_n, \Omega \in \Sigma, \Omega_n \xrightarrow{\Sigma} \Omega \quad \left. \begin{array}{l} y_n \in V(\Omega_n), y \in V(\Omega), y_n \rightarrow y \\ \lim_{n \rightarrow \infty} J(\Omega_n, y_n) \geq J(\Omega, y) \end{array} \right\}$$

Věta X.1 Nechť platí (i), (ii), (iii). Pak existuje alespoň jedno řešení  $\Omega^*$  úlohy  $(P)$ .

Důkaz. Budě

$$q = \inf_{\Omega \in \Sigma} J(\Omega, u(\Omega)) = \lim_{n \rightarrow \infty} J(\Omega_n, u(\Omega_n)),$$

tj.  $\Omega_n \in \Sigma$  je minimizující posloupnost problému  $(P)$

Z (i) plyne, že existuje vybraná posloupnost z  $\{\Omega_n\}$  (budeme ji v dalším značit stejně) a oblast  $\Omega^* \in \Sigma$  taková, že

$$\Omega_n \xrightarrow{\Sigma} \Omega^* \quad (\text{x.1}).$$

Nechť  $u(\Omega_n), u(\Omega^*)$  jsou řešení stavových úloh na  $\Omega_n, \Omega^*$ .

Z vlastnosti (ii) plyne existence vybrané posloupnosti  $\{u(\Omega_{n_k})\} \subset \{u(\Omega_n)\}$  takové, že

$$u(\Omega_{n_k}) \rightarrow u(\Omega^*) \quad (\text{x.2})$$

Konečně z (iii) dostáváme:

$$q = \lim_{k \rightarrow \infty} J(\omega_{n_k}, u(\omega_{n_k})) \geq J(\Omega^*, u(\Omega^*)).$$

Na druhé straně  $J(\Omega^*, u(\Omega^*)) \geq q$  a tedy

$$J(\Omega^*, u(\Omega^*)) = \inf_{\Omega \in \mathcal{G}} J(\Omega, u(\Omega)).$$

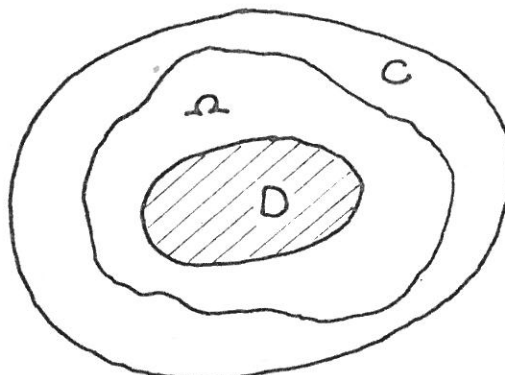
Poznámka X.1. Z (i), (ii), (iii) plyne existence řešení, neboli však jeho jednoznačnost.

Ukažme si konkrétní aplikaci výsledků předchozí části:

Příklad X.1. Nechť  $C, D$  jsou omezené oblasti v  $\mathbb{R}^n$ ,  $D \subset C$ . Označme

$$\mathcal{G} = \{\Omega \subset \mathbb{R}^n \mid D \subset \Omega \subset C, \Omega \in \mathcal{M}^\alpha\}.$$

$\mathcal{M}^\alpha$  značí množinu všech oblastí s lipschitzovskou hranicí  $\partial\Omega$  a konstantou lipschitzovskosti rovnou  $\alpha$ ,  $\bar{\mathcal{G}} = \mathcal{G}$ .



V systému  $\mathcal{G}$  definujeme konvergenci množin následovně:

řekneme, že  $\Omega_n \xrightarrow{\mathcal{G}} \Omega$ ,  $\Omega_n, \Omega \in \mathcal{G}$ ,

jestliže  $\chi_n \rightarrow \chi$   $L^2(C)$ ,

kde  $\chi_n$  resp.  $\chi$  je charakteristická funkce oblasti  $\Omega_n$ , resp.  $\Omega$ .

$$\text{Nechť } V(\Omega) = H^1(\Omega) \quad \forall \Omega \in \mathcal{G}$$

a bud  $\gamma_n \in V(\Omega_n)$ ,  $\gamma \in V(\Omega)$ .  
jestliže

řekneme, že  $\gamma_n \rightarrow \gamma$ ,

$$\tilde{y}_n \rightarrow \tilde{y} \quad \text{v } H^1(\mathbb{C}) \text{ slabě,}$$

kde  $\tilde{y}_n$  resp.  $\tilde{y}$  je Calderonovo rozšíření  $y_n$  resp.  $y$   
a  $\Omega_n$  resp.  $\Omega$  na  $\mathbb{C}$ .

Na každé  $\Omega \in \mathcal{G}$  uvažujeme stavový problém

$$\begin{aligned} -\Delta u(\Omega) + u(\Omega) &= f & \Omega \\ \frac{\partial u(\Omega)}{\partial n} &= 0 & \partial \Omega \end{aligned}$$

Stavová relace  $\varphi: \Omega \rightarrow u(\Omega)$  je dána tedy řešením  
Neumannovy úlohy na  $\Omega$  ( $f \in L^2(\mathbb{C})$ ).

Konečně účelový funkcionál  $J(\Omega, y)$  je dán vztahem

$$J(\Omega, y) = \int_{\Omega} |\nabla y - z_d|^2 dx,$$

kde

$$z_d \in L^2(\mathbb{C}), \quad y \in H^1(\Omega).$$

Úlohou optimálního návrhu oblasti pro tento konkrétní příklad rozumíme úlohu:

$$(P), \quad \left\{ \begin{array}{l} \text{nalézt } \Omega^* \in \mathcal{G} \text{ takovou, že} \\ J(\Omega^*, u(\Omega^*)) \leq J(\Omega, u(\Omega)) \quad \forall \Omega \in \mathcal{G}, \end{array} \right.$$

kde  $u(\Omega) \in H^1(\Omega)$  je řešením úlohy (x.3).

V dalším úkážeme, že  $(P)_1$  má alespoň jedno řešení. K tomu stačí ověřit platnost (i) - (iii).

Podmínka (i) je netriviální. Dá se však dokázat, že systém  $\mathcal{G}$  je kompaktní vzhledem k zavedené topologii.

Ověřme (ii). Variační formulace (x.3) je:

$$(x.4) \quad \left\{ \begin{array}{l} \text{nalézt } u(\Omega) \in H^1(\Omega) \text{ takovou, že} \\ \int_{\Omega} (\nabla u(\Omega) \cdot \nabla v + u(\Omega)v) dx = \int_{\Omega} f_v dx \quad \forall v \in H^1(\Omega). \end{array} \right.$$

Buděte  $\Omega_n, \Omega \in \mathcal{E}$  takové, že  $\Omega_n \overset{\mathcal{C}}{\rightarrow} \Omega$  a  $u(\Omega_n), u(\Omega)$  po řadě řešení (x.4) na  $\Omega_n, \Omega$ .

Specielně

$$\int_{\Omega_n} (\nabla u(\Omega_n) \cdot \nabla v + u(\Omega_n)v) dx = \int_{\Omega} f_v dx \quad \forall v \in H^1(\Omega).$$

Zvolíme-li za testovací funkci v specielně řešení  $u(\Omega_n)$  zjistíme, že posloupnost  $\{u(\Omega_n)\}_{n=1}^{\infty}$  je omezena v tomto smyslu:

$$\left. \begin{array}{l} \exists \alpha = \text{konst.} > 0 \quad \text{nezávislá na } n \text{ a taková, že} \\ \|u(\Omega_n)\|_{1,\Omega_n} \leq \alpha. \end{array} \right\} (x.5)$$

Nechť  $\widetilde{u}(\Omega_n)$  je Calderonovo rozšíření  $u(\Omega_n)$  z oblasti  $\Omega_n$  na  $C$ . Dá se ukázat, že normu operátoru rozšíření lze odhadnout shora nezávisle na  $\Omega \in \mathcal{E}$ , tj.

$$\|\widetilde{u}(\Omega_n)\|_{1,C} \leq \alpha \quad \forall n.$$

Existuje tedy vybraná posloupnost  $\{\widetilde{u}(\Omega_n)\} \subset \{\widetilde{u}(\Omega_n)\}$  a prvek  $\omega \in H^1(C)$  takový, že

$$\widetilde{u}(\Omega_n) \rightharpoonup \omega \quad \begin{matrix} \text{(slabě)} \\ H^1(C) \end{matrix}.$$

Ukažme, že  $\omega|_{\Omega} \equiv u(\Omega)$ , tj.  $\omega|_{\Omega}$  je řešením (x.4) na limitní oblasti  $\Omega$ . Ekvivalentním vyjádřením (x.4) je

$$\int_C (\chi_n \nabla \widetilde{u}(\Omega_n) \cdot \nabla v + \chi_n \widetilde{u}(\Omega_n)v) dx = \int_C \chi_n f_v dx \quad \forall v \in H^1(C). \quad (x.6)$$

Protože

$$\chi_n \rightarrow \chi \quad v \quad L^2(C)$$

$$\tilde{u}(\Omega_n) \rightarrow u \quad (\text{slabě}) \quad v \quad H^1(C),$$

dostaneme odtud a limitním přechodem v (X.6), že

$$\int_C (\chi \nabla \omega \cdot \nabla v + \chi \omega v) dx = \int_C \chi f v dx \quad \forall v \in H^1(C),$$

neboli

$$\int_{\Omega} (\nabla \omega \cdot \nabla v + \omega v) dx = \int_{\Omega} f v dx \quad \forall v \in H^1(\Omega),$$

tj.  $\omega|_{\Omega}$

je skutečně řešením (X.4) na  $\Omega$ .

Vlastnost (iii) plyne ze slabé polospojitosti zdola normy.

V další části této kapitoly se budeme zabývat approximací problému (R).

Bud  $h > 0$  diskretizační parametr,  $h \rightarrow 0_+$ . Každému  $h > 0$  přiřadíme systém  $\sigma_h \subseteq \bar{\sigma}$ . Obecně  $\sigma_h$  nemusí být částí  $\sigma$ . V případě, že  $\sigma_h \subset \sigma \quad \forall h \in (0,1)$  řekneme, že  $\sigma_h$  tvoří vnitřní approximaci  $\sigma$ ; v opačném případě jej nazveme approximací vnější. Každé oblasti  $\Omega_h \in \sigma_h$  přiřadíme konečně-dimensionální prostor  $V_h(\Omega_h)$  funkcí, definovaných na  $\Omega_h$ . Dále definujeme diskrétní stavovou relaci  $\psi_h : \Omega_h \in \sigma_h \rightarrow u_h(\Omega_h) \in V_h(\Omega_h)$ . Konečně zavedeme diskrétní účelový funkcionál

$$J_h(\Omega_h, \psi_h), \quad \Omega_h \in \sigma_h, \quad \psi_h \in V_h(\Omega_h).$$

Aproximací úlohy nalezení optimálního tvaru oblasti nazveme problém

$$(R)_h \quad \left\{ \begin{array}{l} \text{nalézt } \Omega_h^* \in \sigma_h \\ \text{takový, že} \\ J_h(\Omega_h^*, u_h(\Omega_h^*)) = J_h(\Omega_h, u_h(\Omega_h)) \quad \forall \Omega_h \in \sigma_h \end{array} \right.$$

Přitom  $u_h(\Omega_h)$  je řešením stavové relace  $\psi_h$ .

V dalším nás bude zajímat vztah mezi řešeními úloh  $(P)$  a  $(P)_h$ . Kromě předpokladů (i), (ii), (iii) zavedeme ještě předpoklady nové a sice:

- (k)  $\overline{\Omega}$  je kompaktní vzhledem k zavedení konvergenci  $\xrightarrow{\sigma}$ ;
- (kk)  $\forall \Omega \in \mathcal{G}$  existují  $\Omega_h \in \mathcal{G}_h$  takové, že  $\Omega_h \xrightarrow{\sigma} \Omega$ ;
- (kkk) Ze vztahu  $\Omega_h \in \mathcal{G}_h, \Omega_h \xrightarrow{\sigma} \Omega$  plyne, že  $\Omega \in \mathcal{G}$ ;
- (ik) jestliže  $\Omega_h \xrightarrow{\sigma} \Omega, \Omega_h \in \mathcal{G}_h, \Omega \in \mathcal{G}$  a jsou-li  $u_h(\Omega_h)$  řešení stavových relací  $\psi_h$ , pak existuje vybraná posloupnost  $\{u_{h_k}(\Omega_{h_k})\} \subset \{u_h(\Omega_h)\}$  taková, že
 
$$u_{h_k}(\Omega_{h_k}) \rightarrow u(\Omega) \quad k \rightarrow \infty,$$
 tj.  $u(\Omega)$  řeší stavovou relaci  $\psi$  na  $\Omega$ ;
- (vk) ze vztahu  $\Omega_h \in \mathcal{G}_h, \Omega_h \xrightarrow{\sigma} \Omega, u_h(\Omega_h) \rightarrow u(\Omega)$  plyne  $\lim_{h \rightarrow 0^+} \int_h(\Omega_h, u_h(\Omega_h)) = \int(\Omega, u(\Omega))$ .

Platí:

Věta X.9 Nechť kromě (i) - (iii) platí (k) - (vk).

Pak pro  $\forall h > 0 \exists$  řešení  $\{\Omega_h^*, u_h(\Omega_h^*)\}$  úlohy  $(P)_h$ .

Navíc existuje vybraná posloupnost  $\{\Omega_{h_k}^*, u_{h_k}(\Omega_{h_k}^*)\} \subset \{\Omega_h, u_h(\Omega_h)\}$  taková, že
$$\Omega_{h_k}^* \xrightarrow{\sigma} \Omega^*,$$

$$u_{h_k}(\Omega_{h_k}^*) \rightarrow u(\Omega^*),$$

kde  $\Omega^* \in \mathcal{G}$  řeší  $(P)$  a  $u(\Omega^*) \in V(\Omega^*)$  je řešením stavové relace  $\psi$  na  $\Omega^*$ .

Důkaz. Existence řešení  $\{\Omega_h^*, u_h(\Omega_h^*)\}$  úlohy  $(P)_h$  plyne z (i) - (iii). Z podmínky (k) plyne existence vybrané posloupnosti z  $\{\Omega_h^*\}$  (v dalším ji označíme stejně) a oblasti  $\Omega^* \in \tilde{\sigma}$  takové, že

$$\Omega_h^* \xrightarrow{\sigma} \Omega^*. \quad (\text{X.6})$$

Z (kkk) ihned plyne  $\Omega^* \in \sigma$ . Z vlastnosti (ik) okamžitě plyne existence podposloupnosti  $\{u_{h_k}(\Omega_{h_k}^*)\} \subset \{u_h(\Omega_h^*)\}$  takové, že

$$u_{h_k}(\Omega_{h_k}^*) \rightarrow u(\Omega^*). \quad (\text{X.7})$$

Zbývá ukázat, že  $\{\Omega^*, u(\Omega^*)\}$  řeší úlohu  $(P)$ . Z (vk), (X.6), (X.7) okamžitě dostáváme:

$$\lim_{k \rightarrow \infty} \mathcal{J}_{h_k}(\Omega_{h_k}^*, u_{h_k}(\Omega_{h_k}^*)) \rightarrow \mathcal{J}(\Omega^*, u(\Omega^*)) \quad (\text{X.8})$$

Bud  $\Omega \in \sigma$  libovolná, pevně zvolená. Z (kk) plyne existence posloupnosti  $\Omega_h \in \sigma_h$  takové, že

$$\Omega_h \xrightarrow{\sigma} \Omega$$

a z definice  $(P)_h$  dostáváme:

$$\mathcal{J}_h(\Omega_h^*, u_h(\Omega_h^*)) \leq \mathcal{J}_h(\Omega_h, u_h(\Omega_h)) + \Omega_h \in \sigma_h.$$

Odtud, z (X.8) a vlastnosti (vk) dostáváme limitním přechodem

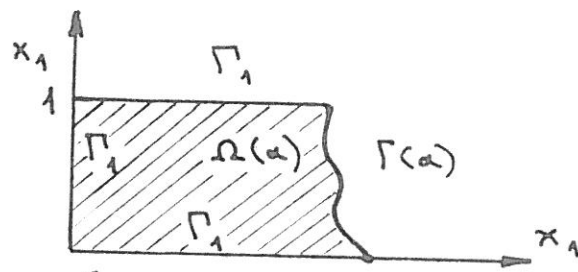
$$\mathcal{J}(\Omega^*, u(\Omega^*)) \leq \mathcal{J}(\Omega, u(\Omega)) + \Omega \in \sigma,$$

t.j.  $(\Omega^*, u(\Omega^*))$  je řešením  $(P)$ .

Příklad X.2 Nechť

$$U_{ad} = \left\{ \alpha \in C^1([0,1]) \mid 0 < \gamma_0 \leq \alpha \leq \gamma_1, \right. \\ \left. |\alpha'(x_2)| \leq \gamma_2 \text{ s.v. } v(0,1), \text{ meas } \Gamma(\alpha) = \gamma_3 \right\},$$

de  $\gamma_0, \gamma_1, \gamma_2, \gamma_3$  jsou kladné konstanty vybrané tak, že  $U_{ad} \neq \emptyset$ .  $\Gamma(\alpha)$  značí množinu omezenou pevnou částí hranice  $\Gamma_1$  a pohyblivou částí  $\Gamma_2(\alpha)$ , jež je grafem funkce  $\alpha$ :



Definujeme  $\mathcal{G} = \{\omega(\alpha), \alpha \in U_{ad}\}$ .

Nechť  $\omega(\alpha_n), \omega(\alpha) \in \mathcal{G}$ . Řekneme, že  $\omega(\alpha_n) \xrightarrow{\mathcal{G}} \omega(\alpha)$  právě tehdy, když

$$\alpha_n \xrightarrow{} \alpha$$

(stejnoměrně) v  $\langle 0,1 \rangle$ .

Na každé  $\omega(\alpha), \alpha \in U_{ad}$  uvažujeme stavový problém stejný jako v příkladu X.1 tj.:

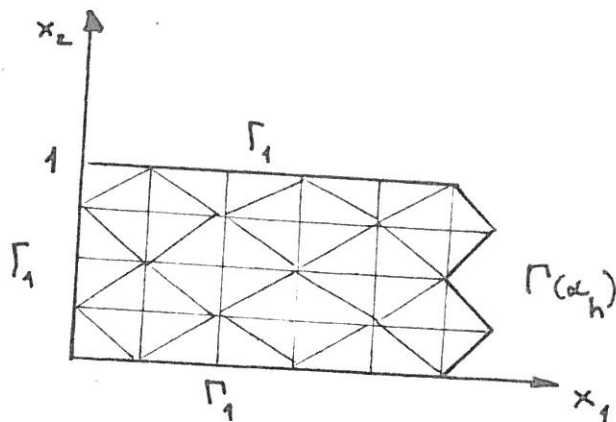
$$\begin{aligned} -\Delta u(\alpha) + u(\alpha) &= f & \omega(\alpha) \\ \frac{\partial u(\alpha)}{\partial n} &= 0 & \text{na } \partial \Omega(\alpha) \end{aligned}$$

Konvergence funkcí  $y_n \in V(\Omega(\alpha_n))$  k funkci  $y \in V(\Omega(\alpha))$  se definuje stejně jako u příkladu X.1, rovněž tak účelový funkcionál.

Nechť  $0 = a_0 < a_1 < \dots < a_n = 1$  je dělení intervalu  $\langle 0,1 \rangle$ ,  $|a_i - a_{i-1}| \leq h$ ,  $i = 1, \dots, n$ . Definujme množinu  $U_{ad}^h$  vztahem:

$$U_{ad}^h = \left\{ \omega_h \in C^0(\langle 0,1 \rangle) \mid \omega_h|_{\overline{a_{i-1} a_i}} \in P_1(\overline{a_{i-1} a_i}), 0 \leq y_0 \leq \omega_h(x_0) \leq y_1, \frac{|\omega_h(a_i) - \omega_h(a_{i-1})|}{|a_i - a_{i-1}|} \leq y_2, \text{ meas } \Omega(\omega_h) = y_3 \right\},$$

kde  $P_1(\overline{a_{i-1} a_i})$  značí množinu lineárních funkcí nad intervalu  $\overline{a_{i-1} a_i}$  a  $\Omega(\omega_h)$  je množina omezená pevnou částí hranice  $\Gamma_1$  a pohyblivou částí  $\Gamma(\omega_h)$ , jež je grafem funkce  $\omega_h \in U_{ad}^h$ .



Položme nyní  $\Omega_h = \{\Omega(\alpha_h), \alpha_h \in U_{ad}^h\}$ . Z konstrukce je okamžitě vidět, že  $\Omega_h \subset \Omega \quad \forall h \in (0, 1)$ .

Protože  $\Omega(\alpha_h)$  je polygonální oblast, můžeme provést její triangulaci např. tak, jak je naznačeno na obrázku.

Oblast  $\Omega_h(\alpha_h)$  s provedenou triangulací  $T(h, \alpha_h)$  označme  $\Omega_h(\alpha_h)$ . Každé  $\Omega_h(\alpha_h)$  přiřadíme konečně-dimensionální prostor

$$V_h(\Omega_h(\alpha_h)) = \{v_h \in C(\overline{\Omega(\alpha_h)}) \mid v_h|_{T_i} \in P_1(T_i)$$

$$\quad \forall T_i \in T(h, \alpha_h)\} \subset H^1(\Omega(\alpha_h))$$

Diskrétní stavová relace je definována pomocí Ritz-Galerkinovy approximace:

nalezt  $u_h(\alpha_h) \in V_h(\Omega_h(\alpha_h))$  takový, že

$$\int_{\Omega_h(\alpha_h)} (\nabla u_h(\alpha_h) \cdot \nabla v_h + u_h(\alpha_h) v_h) dx = \int_{\Omega_h(\alpha_h)} f v_h dx \quad \forall v_h \in V_h(\alpha_h)$$

Konečně účelový funkcionál je dán vztahem

$$J_h(\Omega_h(\alpha_h), u_h(\alpha_h)) = \frac{1}{2} \int_D |\nabla u_h(\alpha_h) - z_d|^2 dx,$$

kde

$$D \subset \Omega(\alpha_h) \quad \forall \alpha_h \in U_{ad}^h.$$

Aproximaci této konkrétní úlohy optimálního návrhu oblasti rozumíme problém:

$$(P)_h \left\{ \begin{array}{l} \underline{\alpha}_h^* \in U_{ad}^h \\ J(\underline{\alpha}_h(\underline{\alpha}_h^*), u_h(\underline{\alpha}_h^*)) \leq J(\underline{\alpha}_h(\underline{\alpha}_h), u_h(\underline{\alpha}_h)) \\ + \underline{\alpha}_h \in U_{ad}^h \end{array} \right.$$

Za jistých předpokladů, jež se týkají systému dělení  $\{J(h, \underline{\alpha}_h)\}, h \rightarrow 0+, \underline{\alpha}_h \in U_{ad}^h$  je možno ukázat, že (k) - (vk) je splněno a tedy je možno aplikovat větu X.2.

#### 4. Výpočet gradientu účelové funkce úlohy optimalizace kruhových otvorů

V této kapitole stanovíme diferenciál účelového funkcionálu  $j(\alpha, u(\alpha))$  definovaného ve zprávě / 4 /, / 5 / (úlohu zde připomeneme) ve spojité formě a necháme již na uživateli konkrétní implementaci metody konečných prvků k opravě polohy i průměru chladicích otvorů.

Na oblasti  $\Omega_\alpha$  (viz obr. 1 zprávy / 5 /) řešíme rovnici pro vedení tepla

$$(4.1) \quad -\Delta \vartheta = 0 \quad \text{v} \quad \Omega_\alpha$$

s okrajovými podmínkami

$$(4.2) \quad \vartheta = \vartheta_0 \quad \text{na} \quad \Gamma_e$$

(sjednocení hranic chladicích kanálů,  $\vartheta_0$  nezávisí na poloze a průměru kanálů),

$$(4.3) \quad \frac{\partial u}{\partial n} + \alpha u = 0 \quad \text{na} \quad \Gamma_i \quad (\text{vnější hranice}),$$

$$(4.4) \quad \frac{\partial u}{\partial n} = q \quad \text{na} \quad \Gamma_o \quad (\text{hranice odlitku})$$

Je-li  $\alpha$  koeficient tepelné vodivosti a  $\alpha$  koeficient vnější tepelné vodivosti, potom slabá formulace úlohy je jako obvykle (viz / 5 /):

Bud  $V(\Omega_\alpha) = \{v \in H^1(\Omega) ; v = 0$  na  $\Gamma_e\}$ .  
Hledáme  $\vartheta \in H^1(\Omega)$  tak, že

$$(4.5) \quad \vartheta - \vartheta_0 \in V(\Omega_\alpha),$$

$$(4.6) \quad \int_{\Omega_\alpha} \alpha \nabla \vartheta \cdot \nabla w \, dx + \int_{\Gamma_i} \alpha \vartheta w \, ds = \int_{\Gamma_o} q w \, ds$$

$$\# w \in V(\Omega_\epsilon), \quad g \in L^2(\Gamma_0).$$

Návrhové parametry, viz /4/, jsou souřadnice středů kruhových otvorů  $(S_1^{(m)}, S_2^{(m)})$ ,  $m = 1, 2, \dots, N_0$  a jejich poloměrů  $\rho_m$ . Budeme předpokládat  $\rho_m \geq \rho_{\min} > 0$ .

$$(4.7) \quad \sum_{m=1}^N \rho_m^2 = c_0/\pi,$$

$$(4.8) \quad \#^m S^{(m)} + d^m + \rho_m \leq 0, \quad i = 1, 2, \dots, j_m$$

(soustava  $j_m$  polorovin pro každý otvor).

Budte dány dále Lamého koeficienty  $\lambda, \mu$  a koeficient  $k_0$  (v dalším budeme označovat  $\lambda$  též  $\Delta$ ).

Hledáme vektor posunutí  $u = (u_1, u_2)$  vyhovující Lamého rovnicím

$$(4.9) \quad (\lambda + \mu) \frac{\partial \Theta}{\partial x_i} + \mu \Delta u_i = k_0 \frac{\partial}{\partial x_i} \Theta \quad \text{v } \Omega_\epsilon,$$

$$\Theta = \frac{\partial u_1}{\partial x_1} + \frac{\partial u_2}{\partial x_2},$$

a okrajovým podmínkám na

$$(4.10) \quad \tau_{ij} \nu_j = 0 \quad \text{na } \partial \Omega_\epsilon,$$

kde

$$(4.11) \quad \tau_{ij} = \lambda \Theta \delta_{ij} + 2\mu \alpha_{ij} - k_0 \nu \delta_{ij}.$$

Ve slabé formulaci to znamená, že hledáme

$$u \in H^1(\Omega; \mathbb{R}^2) \quad \text{tak, že } \forall v \in H^1(\Omega; \mathbb{R}^2) \quad \text{je}$$

$$(4.12) \quad \int_{\Omega} \lambda \operatorname{div} u \operatorname{div} v + 2\mu \cdot \alpha_{ij}(u) \alpha_{ij}(v) dx =$$

$$= \int_{\Omega} k_0 \bar{v} \operatorname{div} v \, dx.$$

Za účelový funkcionál budeme brát

$$(4.13) \quad j(\epsilon) = \frac{1}{|\Omega_\epsilon|} \int_{\Omega_\epsilon} I^2(\tau) \, dx,$$

kde  $I(\tau)$  je nějaký invariant tenzoru napětí, např.

$$I^2(\tau) = \tau_{ij} \tau_{ij}, \\ \epsilon \in \mathbb{R}^{3m}, \lambda \in \mathbb{R}_+^2$$

$$\text{a } \bar{v}_\lambda, u^\lambda$$

$$\text{Bud nyní } \tilde{\epsilon} = (\Delta \tilde{s}_1, \dots, \Delta \tilde{s}_m, \Delta \tilde{g}_1, \dots, \Delta \tilde{g}_m) \in$$

řešení naší úlohy pro  $\epsilon = \epsilon_0 + \lambda \tilde{\epsilon}$ ,

kterou za předpokladů (4.7) - (4.8) předpokládáme řešitelnou pro  $0 \leq \lambda \leq \delta, \delta > 0$ .

$$\frac{d}{d\lambda} j(\epsilon_0 + \lambda \tilde{\epsilon}) \Big|_{\lambda=0}.$$

Našim cílem bude stanovit

Je-li

$$\frac{d}{d\lambda} j(\epsilon_0 + \lambda \tilde{\epsilon}) \Big|_{\lambda=0} = \sum_{i=1}^{3M} \tilde{t}_i \tilde{\epsilon}_i,$$

potom zřejmě největší klesání funkcionálu  $j(\epsilon)$

od bodu  $\epsilon_0$  je ve směru  $-\tilde{t}$ ,

a další iterace, zlepšující polohu a poloměr otvorů, je pro  $\lambda > 0$ :

$$(4.14) \quad j(\epsilon_0 - \lambda \cdot \tilde{t}) \doteq j(\epsilon_0) - \lambda |\tilde{t}|^2;$$

zde volíme  $\lambda$  "vhodně"; předpokládáme, že vektor  $\epsilon_0 - \lambda \tilde{t}$  vyhovuje (4.7) - (4.8). Označme množinu těch  $\tilde{\epsilon}$  vyhovujících (4.7), (4.8) a  $g_m \geq g_{\min}: U_{ad}$ .

Je to zřejmě konvexní množina

Obecně vektor  $\varepsilon_0 - \lambda \tilde{t}$  promítneme na  $U_{ad}$ :

buď  $P = P(\varepsilon_0 - \lambda \tilde{t})$  tento průmět. Potom bude  
 $j(P(\varepsilon_0 - \lambda \tilde{t})) = j(\varepsilon_0) + \sum_{k=1}^m \tilde{t}_k (P_k - \varepsilon_k)$ .

Volíme pochopitelně  $\lambda$  tak, aby

$$(4.15) \quad j(\varepsilon_0) > j(P(\varepsilon_0 - \lambda \tilde{t})).$$

Je-li splněno (4.15), můžeme krok prodloužit (např. 2x).

Není-li splněno (4.15), potom krok zkrátíme (třeba na polovinu).

Přejděme k určení diferenciálu  $\underline{\underline{f}}$ . Budeme používat metodu zobrazení, viz např. O. Pironneau / 6 /.

Budte tedy  $\varepsilon^\lambda = \varepsilon_0 + \lambda \tilde{e}$ , a označme na

$\Omega_{\varepsilon^\lambda} \equiv \Omega_\lambda$  řešení  $\tilde{v}_\lambda, u^\lambda$  a cenový funkcionál  $\underline{\underline{f}}_\lambda$ .

Bud  $\psi = \psi(x)$  diffeomorfizmus  $\bar{\Omega}_0$  na  $\bar{\Omega}_\lambda$ , dostatečně hladký na  $\bar{\Omega}$ .

Uvažme  $m$ -tý kruhový otvor. Budeme nejdříve uvažovat  $\tilde{e}$  nenulové pouze pro tento otvor; pro jednoduchost nebudeme psát index  $m$ . Nechť se střed  $S$  posune na  $S'$  a poloměr se změní na  $g'$ .

Uvažme nejdříve lineární zobrazení vnějšku  $S$  (souřadnice  $x$ ) na vnějšek  $S'$  (souřadnice  $\psi$ ). Dostaneme, je-li  $S' = S + \lambda \Delta S$ ,  $g' = g + \lambda \Delta g$ :

$$(4.16) \quad \psi = x + \lambda \Delta S + (x - S) \lambda \frac{\Delta g}{g}.$$

V dalším budeme uvažovat  $\lambda$  malé a funkci  $\psi \in C^\infty(\mathbb{R}^n)$ , s nosičem v malém okolí hranice  $\Gamma_\epsilon^m$   $m$ -tého otvoru a s  $\psi(x) = 1$  na  $\Gamma_\epsilon^m$  tak, aby pro pevné  $\psi$  a  $\lambda$  dostatečně malé, zobrazení

$$(4.17) \quad \psi = x + [\lambda \Delta S + (x - S) \lambda \frac{\Delta g}{g}] \psi(x)$$

bylo  $C^\infty$  diffeomorfizmem  $\bar{\Omega}_0$  na  $\bar{\Omega}_\lambda$ , který formulí (4.17) rozšíříme na diffeomorfizmus  $\mathbb{R}^2$  na  $\mathbb{R}^2$ . Je

$$(4.18) \quad \gamma = \gamma(x, \lambda), \quad \gamma \in C^\infty(\mathbb{R}^2 \times (-\delta, \delta)) \quad \text{pro } \delta$$

dosti malé a je vidět, že

$$(4.19) \quad \kappa = x(\gamma, \lambda), \quad x \in C^\infty(\mathbb{R}^2 \times (-\delta, \delta)).$$

Máme

$$(4.20) \quad \frac{\partial \gamma_i}{\partial x_j} = \delta_{ij} \left( 1 + \lambda \frac{\Delta \varphi}{s} \right) \psi + \left[ \lambda \Delta S_i + (x_i - S_i) \lambda \frac{\Delta \varphi}{s} \right] \frac{\partial \psi}{\partial x_j}.$$

Označíme-li tečkou derivování podle  $\lambda$ , je

$$(4.21) \quad \frac{\partial \dot{\gamma}_i}{\partial x_j} = \delta_{ij} \frac{\Delta \varphi}{s} \psi + \left[ \Delta S_i + (x_i - S_i) \frac{\Delta \varphi}{s} \right] \frac{\partial \psi}{\partial x_j}.$$

Protože  $\dot{\gamma}_i = \dot{\gamma}_i(x(\gamma, \lambda), \lambda)$  je

$$(4.22) \quad \delta_{ij} = \frac{\partial \dot{\gamma}_i}{\partial x_k} \cdot \frac{\partial x_k}{\partial \dot{\gamma}_j}.$$

Píšeme-li (4.22) ve formě,  $\delta_{ij} = \frac{\partial \dot{\gamma}_i}{\partial x_k} (\gamma(x, \lambda)) \frac{\partial x_k}{\partial \dot{\gamma}_j} (x(\gamma, \lambda), \lambda)$ , potom dostaneme pro  $\lambda = 0$ :

$$(4.23) \quad 0 = \frac{\partial \dot{\gamma}_i}{\partial x_j} + \frac{d}{d\lambda} \left[ \frac{\partial x_i}{\partial \dot{\gamma}_j} \right],$$

tedy

$$(4.24) \quad \frac{d}{d\lambda} \left[ \frac{\partial x_i}{\partial \dot{\gamma}_j} \right]_{\lambda=0} = - \delta_{ij} \frac{\Delta \varphi}{s} \psi - \left[ \Delta S_i + (x_i - S_i) \frac{\Delta \varphi}{s} \right] \frac{\partial \psi}{\partial x_j}.$$

Uvažme ještě  $h \in C^1(\bar{\Omega})$  a nechť nosič funkce  $\psi$  konverguje k  $\Gamma_a^m$ . Dostaneme

$$\lim_{\Delta} \int_{\Omega} h(x) \frac{\partial \psi}{\partial x_i} dx = \int_{\partial\Omega} h v_i ds.$$

Zřejmě ještě dostaneme

$$(4.25) \quad \frac{d}{d\lambda} \left[ \det \frac{\partial y_i}{\partial x_j} \right]_{\lambda=0} = \left. \frac{\partial y_i}{\partial x_j} \right|_{\lambda=0} = 2 \frac{\Delta g}{g} \psi + \\ + \left[ \Delta S_x + (x_i - S_i) \frac{\Delta g}{g} \right] \frac{\partial \psi}{\partial x_i}.$$

Bud nyní

$$D_\lambda(y) = \tilde{v}_\lambda(y(x, \lambda)) = \tilde{v}_\lambda(x), \\ \tilde{w} \in V(\Omega_0), \tilde{w}(x) = w(y(x, \lambda)).$$

Máme

$$(4.26) \int_{\Omega_\lambda} a \frac{\partial \tilde{v}_\lambda}{\partial y_i} \frac{\partial w}{\partial y_i} dy + \int_{\Gamma_1} \tilde{v}_\lambda w ds = \int_{\Gamma_0} g w ds.$$

Po substituci  $y = y(x, \lambda)$  dostaneme z (4.26)

$$(4.27) \int_{\Omega_0} a \underbrace{\left[ \frac{\partial \tilde{v}_\lambda}{\partial x_k} \frac{\partial x_k}{\partial y_i} \right]}_{\tilde{v}_\lambda} \underbrace{\left[ \frac{\partial \tilde{w}}{\partial x_l} \frac{\partial x_l}{\partial y_i} \right]}_{\tilde{w}} \frac{dy}{dx} dx + \int_{\Gamma_1} \tilde{v}_\lambda \tilde{w} ds = \\ = \int_{\Gamma_0} g \tilde{w} ds.$$

Předpokládejme nyní, že existuje  $\tilde{v}_\lambda$  ve  $W^{1,2}(\Omega_0)$

a že  $\tilde{v}_\lambda$  jsou spojité v  $\lambda$  v prostoru  $W_{loc}^{2,2}(\Omega_0 \cup \Gamma_a)$ , což lze snadno dokázat. Dostáváme tak

$$(4.28) \quad \text{Věta. Pro } \tilde{v}_\lambda \in V(\Omega_0) \text{ je } \forall \tilde{w} \in V(\Omega_0) \quad ?$$

$$\begin{aligned}
 & \int_{\Omega_0} a \frac{\partial \tilde{\psi}}{\partial x_i} \frac{\partial \tilde{w}}{\partial x_i} dx + \alpha \int_{\Gamma_1} \tilde{\psi} \tilde{w} ds = \\
 & = \sum_{m=1}^{N_0} \int_{\Gamma_m^B} \frac{\partial \tilde{\psi}}{\partial x_k} \left[ \Delta S_k^{(m)} + (x_k - S_k^{(m)}) \frac{\Delta \rho_m}{\rho_m} \right] \frac{\partial \tilde{w}}{\partial n} ds + \\
 & + \sum_{m=1}^{N_0} \int_{\Gamma_m^B} \frac{\partial \tilde{\psi}}{\partial n} \frac{\partial \tilde{w}}{\partial x_k} \left[ \Delta S_k^{(m)} + (x_k - S_k^{(m)}) \frac{\Delta \rho_m}{\rho_m} \right] ds - \\
 & - \sum_{m=1}^{N_0} \int_{\Gamma_m^B} \frac{\partial \tilde{\psi}}{\partial x_i} \frac{\partial \tilde{w}}{\partial x_i} \left[ \Delta S_i^{(m)} + (x_j - S_i^{(m)}) \frac{\Delta \rho_m}{\rho_m} \right] v_j ds . \quad \square
 \end{aligned}$$

Přistupme nyní k variaci vektoru posunutí  $\mathbf{u}$ . Vzhledem k tomu, že  $\mathbf{u}$  je určeno až na posunutí a otočení, tj. až na polynom  $(b_1 + bx_2, b_2 - bx_1)$ , můžeme požadovat podmíinku

$$(4.29) \int_{\Gamma_1} u ds = 0, \quad \int_{\Gamma_2} (x_1 u_2 - x_2 u_1) ds = 0$$

nebo pro nějakou  $\tilde{\Pi} \subset \Gamma_1$ ,  $|\tilde{\Pi}| > 0$ , a totéž pro srovnávací funkce, označíme si podobně jako výše:

$$u^\lambda(y) = \tilde{u}^\lambda(x), \tilde{v}(x) = v(y), \tilde{v} \in W^{1,2}(\Omega; \mathbb{R}^2).$$

Dostáváme tak na  $\Omega_\lambda$

$$\begin{aligned}
 (4.30) \int_{\Omega_\lambda} & \left[ \Delta \frac{\partial u_i^\lambda}{\partial y_j} \frac{\partial v_i}{\partial y_j} + \mu \left( \frac{\partial u_i^\lambda}{\partial y_j} + \frac{\partial u_j^\lambda}{\partial y_i} \right) \frac{\partial v_i}{\partial y_j} - k_0 \sigma_i^\lambda \frac{\partial v_i}{\partial y_j} \right] dy = \\
 & = 0 .
 \end{aligned}$$

Po transformaci na  $\Omega_0$  plyně

$$(4.31) \int_{\Omega_0} \left[ \Lambda \frac{\partial \tilde{u}_i}{\partial x_k} \frac{\partial \tilde{v}_j}{\partial y_i} \frac{\partial \tilde{v}_i}{\partial x_l} \frac{\partial \tilde{x}_l}{\partial y_j} + \mu \left( \frac{\partial \tilde{u}_i}{\partial x_k} \frac{\partial \tilde{x}_k}{\partial y_j} + \right. \right. \\ \left. \left. + \frac{\partial \tilde{u}_j}{\partial x_l} \frac{\partial \tilde{x}_l}{\partial y_i} \right) \frac{\partial \tilde{v}_k}{\partial x_t} \frac{\partial \tilde{x}_t}{\partial y_j} - k_0 \tilde{\sigma}_0 \frac{\partial \tilde{v}_k}{\partial x_j} \frac{\partial \tilde{x}_j}{\partial y_k} \right] \frac{dy}{dx} dx = 0.$$

Předpokládejme opět, že existuje  $\tilde{u}^\lambda$  ve  $W^{1,2}(\Omega, \mathbb{R}^2)$ ,  
a že  $\tilde{u}^\lambda$  jsou spojité v prostoru  $W_{loc}^{2,2}(\Omega_e \cup \Gamma_e; \mathbb{R}^2)$ ,  
což lze snadno dokázat.

Dostáváme tak (  $\Lambda$  je Lamého koeficient  $\lambda$  )

(4.32) Věta.

$$\int_{\Omega_0} \left[ \Lambda \frac{\partial \tilde{u}_i}{\partial x_i} \frac{\partial \tilde{v}_j}{\partial x_j} + 2\mu \epsilon_{ij}(\tilde{u}) \epsilon_{ij}(v) \right] dx - \\ - k_0 \tilde{\sigma}_0 \frac{\partial \tilde{v}_k}{\partial x_k} \left. \right|_{\Gamma_e} = \sum_{m=1}^{N_0} \int_{\Gamma_m} \left\{ \Lambda \frac{\partial \tilde{u}_i}{\partial x_k} [\Delta S_k^{(m)} + (x_k - S_k^{(m)}) \frac{\Delta \rho_m}{\rho_m}] \right. \\ \cdot v_i \frac{\partial \tilde{v}_i}{\partial x_j} + \Lambda \frac{\partial \tilde{x}_i}{\partial x_i} \frac{\partial \tilde{v}_i}{\partial x_j} [\Delta S_L^{(m)} + (x_L - S_L^{(m)}) \frac{\Delta \rho_m}{\rho_m}] v_j - \\ - \Lambda \frac{\partial \tilde{u}_i}{\partial x_i} \frac{\partial \tilde{v}_i}{\partial x_j} [\Delta S_k^{(m)} + (x_k - S_k^{(m)}) \frac{\Delta \rho_m}{\rho_m}] v_k \} ds + \\ + \sum_{m=1}^{N_0} \int_{\Gamma_m} \left\{ \mu \frac{\partial \tilde{u}_i}{\partial x_k} [\Delta S_k^{(m)} + (x_k - S_k^{(m)}) \frac{\Delta \rho_m}{\rho_m}] \frac{\partial \tilde{v}_i}{\partial n} \right. +$$

$$\begin{aligned}
 & \mu \frac{\partial \tilde{v}_j}{\partial x_k} \left[ \Delta S_k^{(m)} + (x_k - S_k^{(m)}) \frac{\Delta \rho_m}{g_m} \right] v_i \frac{\partial \tilde{v}_i}{\partial x_j} + \\
 & + 2\mu \epsilon_{ijk} (\tilde{v}_0) \frac{\partial \tilde{v}_i}{\partial x_k} \left[ \Delta S_k^{(m)} + (x_k - S_k^{(m)}) \frac{\Delta \rho_m}{g_m} \right] v_j - \\
 & - 2\mu \epsilon_{ijk} (\tilde{v}_0) \frac{\partial \tilde{v}_i}{\partial x_j} \left[ \Delta S_k^{(m)} + (x_k - S_k^{(m)}) \frac{\Delta \rho_m}{g_m} \right] v_k \} ds \\
 & - k_0 \sum_{m=1}^{N_0} \int \left\{ \tilde{v}_0 \frac{\partial \tilde{v}_i}{\partial x_j} \left[ \Delta S_j^{(m)} + (x_j - S_j^{(m)}) \frac{\Delta \rho_m}{g_m} \right] v_i \right\} ds - \\
 & - \tilde{v}_0 \frac{\partial \tilde{v}_i}{\partial x_i} \left[ \Delta S_i^{(m)} + (x_i - S_i^{(m)}) \frac{\Delta \rho_m}{g_m} \right] v_i \} ds
 \end{aligned}$$

□

Označme nyní

$$(4.33) \quad f_\lambda = \frac{1}{|\Omega_\lambda|} \int \tau_{ij}^\lambda \tau_{ij}^\lambda dy, \quad \text{kde}$$

$$(4.34) \quad \tau_{ij}^\lambda = \Delta S_{ij} \frac{\partial u_k^\lambda}{\partial y_k} + \mu \left( \frac{\partial u_i^\lambda}{\partial y_j} + \frac{\partial u_j^\lambda}{\partial y_i} \right) - k_0 \tilde{v}^\lambda S_{ij}.$$

Všimněme si, že při současném pohybu všech otvorů a změn jejich polomérů dostaneme transformaci  $\Omega_0$  na  $\Omega_\lambda$  ve tvaru

$$(4.35) \quad y = x + \lambda \sum_{m=1}^{N_0} \left[ \Delta S^{(m)} + (x - S^{(m)}) \frac{\Delta \rho_m}{g_m} \right] \psi_m(x),$$

kde  $\psi_m \in C^\infty(\mathbb{R}^2)$ ,  $\psi_m$  mají nosiče v dostatečně malém okolí  $\Gamma_e^m$  a  $\psi_m(x) = 1$  na  $\Gamma_e^m$ .

Uvažme z tohoto hlediska

$$\frac{d}{d\lambda} |f_\lambda| \Big|_{\lambda=0}.$$

Ponecháme-li označení funkcí  $\tilde{\sigma}^x, \tilde{\sigma}^y$  jako výše,  
dostaneme

(4.36)

$$\begin{aligned} f_\lambda = & \frac{1}{|\Omega_0|} \int_{\Omega_0} \left[ (3\Delta^2 + 4\mu\Delta) \left( \frac{\partial \tilde{u}_i^\lambda}{\partial x_k} \frac{\partial x_k}{\partial y_i} \right)^2 + \right. \\ & + 3k_0^2 (\tilde{\sigma}^x)^2 - (6\Delta k_0 + 4\mu k_0) \frac{\partial \tilde{u}_i^\lambda}{\partial x_k} \frac{\partial x_k}{\partial y_i} \tilde{\sigma}^x + \\ & + \mu^2 \left( \frac{\partial \tilde{u}_i^\lambda}{\partial x_k} \frac{\partial x_k}{\partial y_i} + \frac{\partial \tilde{u}_j^\lambda}{\partial x_t} \frac{\partial x_t}{\partial y_i} \right) \left( \frac{\partial \tilde{u}_i^\lambda}{\partial x_t} \frac{\partial x_t}{\partial y_j} \right. \\ & \left. \left. + \frac{\partial \tilde{u}_t^\lambda}{\partial x_s} \frac{\partial x_s}{\partial y_i} \right) \right] \frac{dy}{dx} dx . \end{aligned}$$

Nyní

(4.37)

$$\begin{aligned} \tilde{f}_\lambda|_{\lambda=0} = & \frac{1}{|\Omega_0|} \int_{\Omega_0} \left[ (6\Delta^2 + 8\mu\Delta) \frac{\partial \tilde{u}_i^0}{\partial x_i} \frac{\partial \tilde{u}_i^0}{\partial x_i} + \right. \\ & + 6k_0^2 \tilde{\sigma}^0 \tilde{\sigma}^0 - (6\Delta k_0 + 4\mu k_0) \left( \frac{\partial \tilde{u}_i^0}{\partial x_i} \tilde{\sigma}^0 + \right. \\ & \left. \left. + \frac{\partial \tilde{u}_i^0}{\partial x_i} \tilde{\sigma}^0 \right) + 8\mu^2 \epsilon_{ij} (\tilde{u}^0) \epsilon_{ij} (\tilde{u}) \right] dx - \\ & - \frac{f_0}{|\Omega_0|} \sum_{m=1}^{N_0} \int_{\Gamma_m} \left[ \Delta S_i^{(m)} + (x_i - S_i^{(m)}) \frac{\Delta \rho_m}{S_m} \right] v_i ds - \\ & - \frac{1}{|\Omega_0|} \sum_{m=1}^{N_0} \int_{\Gamma_m} (6\Delta^2 + 8\mu\Delta) \frac{\partial \tilde{u}_i^0}{\partial x_k} \left[ \Delta S_k^{(m)} + \right. \end{aligned}$$

$$\begin{aligned}
& + (x_k - S_k^{(m)}) \frac{\Delta \rho_m}{\rho_m} v_i \frac{\partial \tilde{u}_j^o}{\partial x_j} + \\
& + \frac{1}{|\Omega_0|} \sum_{m=1}^{N_o} \int_{\Gamma_e^m} (3\Delta^2 + 4\mu\Delta) \left( \frac{\partial \tilde{u}_i^o}{\partial x_i} \right)^2 [\Delta S_k^{(m)} + \\
& + (x_k - S_k^{(m)}) \frac{\Delta \rho_m}{\rho_m}] v_k ds + \frac{1}{|\Omega_0|} (6\Delta k_0 + 4\mu k_0) \cdot \\
& \cdot \sum_{m=1}^{N_o} \int_{\Gamma_e^m} \frac{\partial \tilde{u}_i^o}{\partial x_k} [\Delta S_k^{(m)} + (x_k - S_k^{(m)}) \frac{\Delta \rho_m}{\rho_m}] v_i \tilde{u}^o ds - \\
& - \frac{1}{|\Omega_0|} (6\Delta k_0 + 4\mu k_0) \sum_{m=1}^{N_o} \int_{\Gamma_e^m} \frac{\partial \tilde{u}_i^o}{\partial x_i} \tilde{u}^o \\
& \cdot [\Delta S_k^{(m)} + (x_k - S_k^{(m)}) \frac{\Delta \rho_m}{\rho_m}] v_k ds - \\
& - \frac{1}{|\Omega_0|} 2\mu^2 \sum_{m=1}^{N_o} \int_{\Gamma_e^m} \left\{ \frac{\partial \tilde{u}_i^o}{\partial x_k} [\Delta S_k^{(m)} + (x_k - S_k^{(m)}) \right. \\
& \cdot \left. \frac{\Delta \rho_m}{\rho_m}] v_j + \frac{\partial \tilde{u}_i^o}{\partial x_j} [\Delta S_k^{(m)} + (x_k - S_k^{(m)}) \frac{\Delta \rho_m}{\rho_m}] v_i \right\} \\
& \cdot \left( \frac{\partial \tilde{u}_i^o}{\partial x_j} + \frac{\partial \tilde{u}_j^o}{\partial x_i} \right) ds + \frac{1}{|\Omega_0|} 4\mu^2 \sum_{m=1}^{N_o} \int_{\Gamma_e^m} c_{ij}(\tilde{u}^o) \\
& \cdot c_{ij}(\tilde{u}^o) [\Delta S_k^{(m)} + (x_k - S_k^{(m)}) \frac{\Delta \rho_m}{\rho_m}] v_k ds .
\end{aligned}$$

Označme

(4.38)

$$\begin{aligned} j_1 = \frac{1}{|\Omega_0|} \int_{\Omega_0} & [6\Delta^2 + 8\mu\Delta] \left[ \frac{\partial \tilde{u}_i^\circ}{\partial x_i} \right] \frac{\partial \tilde{u}_j^\circ}{\partial x_j} + \\ & + 6k_0^2 \left[ \frac{\partial \tilde{v}^\circ}{\partial x_i} \right] \tilde{v}^\circ - (6\Delta k_0 + 4\mu k_0) \left( \frac{\partial \tilde{u}_i^\circ}{\partial x_i} \right) \tilde{v}^\circ + \\ & + \left. \frac{\partial \tilde{u}_i^\circ}{\partial x_i} \right] \tilde{v}^\circ + 8\mu^2 \alpha_{ij} \left[ \tilde{u}^\circ \right] \alpha_{ij} (\tilde{u}^\circ) ] dx \end{aligned}$$

a budeme se zabývat jeho výpočtem metodou sdružených rovnic.

Podotkněme ovšem, že řešením rovnic (4.28) pro  $\tilde{v}^\circ$  a (4.32) pro  $\tilde{u}^\circ$  nám umožňuje přímý výpočet (4.38). Zkušenost ukazuje, že metoda sdružených rovnic je algoritmicky výhodná.

Viz J. M. Boisserie, R. Glowinski / 7 /.

K tomu účelu, označme k dvojici  $U = (\tilde{v}, \tilde{u})$  testovací dvojice  $\bar{U} = (\bar{v}, \bar{u}) \in V(\Omega_0) \times W^{1,2}(\Omega; \mathbb{R}^2)$ , kde  $\bar{u}$  splňuje podmínu (4.29). Bud  $k > 0$  vhodná konstanta (o její velikosti viz poznámka dále) a položme  $P \equiv (\tilde{v}^*, \tilde{u}^*)$ ,

(4.39)

$$\begin{aligned} ((\bar{U}, P)) = & k \int_{\Omega_0} \alpha \nabla \bar{v} \cdot \nabla \tilde{v}^* + k \int_{\Gamma_1} \alpha \bar{v} \tilde{v}^* ds + \\ & + \int_{\Omega_0} [\Delta \operatorname{div} \bar{u} \operatorname{div} \tilde{u}^* + 2\mu \alpha_{ij}(\bar{u}) \alpha_{ij}(\tilde{u}^*) - k_0 \bar{v} \operatorname{div} \tilde{u}^*] dx . \end{aligned}$$

Označme dále

$$(4.40) \quad j_1(\bar{u}) = \frac{1}{|\Omega_0|} \int_{\Omega_0} [ (6\Delta^2 + 8\mu\Delta) \frac{\partial \bar{u}_i}{\partial x_i} \frac{\partial \tilde{u}_j^0}{\partial x_j} + \\ + 6k_0^2 \bar{v} \tilde{v}^0 - (6\Delta k_0 + 4\mu k_0) (\frac{\partial \bar{u}_i}{\partial x_i} \tilde{v}^0 + \\ + \bar{v} \frac{\partial \bar{u}_i}{\partial x_i}) + 8\mu^2 \alpha_{ij}(\bar{u}) \alpha_{ij}(\tilde{u}^0) ] dx,$$

a hledejme  $P \in V(\Omega_0) \times W^{1,2}(\Omega, \mathbb{R}^2)$ , podmínka (4.24))  
tak, že platí  $\forall \bar{u}$  z tohoto prostoru

$$(4.41) \quad ((\bar{u}, P)) = j_1(\bar{u}).$$

Dostáváme zřejmě

(4.42) Věta.

$$j_1((\tilde{v}^0, \tilde{u}^0)) = ((\tilde{v}^0, \tilde{u}^0), P) = \\ = k \langle F_1, v^* \rangle + \langle F_2, u^* \rangle,$$

kde  $F_1$  a  $F_2$  jsou funkcionály na pravých stranách rovnic

(4.28) resp. (4.32).

Při řešení (4.41) je třeba splnění V-ellipticity:

$$(4.43) \quad ((\bar{u}, \bar{u})) \geq \alpha \int_{\Omega} [ |\nabla \bar{v}|^2 + \bar{v}^2 + \alpha_{ij}(\bar{u}) \alpha_{ij}(\bar{u}) ] dx,$$

$$\alpha > 0.$$

Ukážeme na jeden prostý odhad, který ovšem může být dosti hrubý.

Zřejmě stačí k platnosti (4.43), aby

$$(4.39) \int_{\Omega_0} [\Delta(\operatorname{div} \bar{u})^2 - k_0 \bar{v} \operatorname{div} \bar{u}] dx +$$

$$+ k_2 \int_{\Gamma_1} \bar{v}^2 ds \geq 0, \quad \text{tedy}$$

$$\int_{\Omega_0} \left\{ [\Delta^{\frac{1}{2}} \operatorname{div} \bar{u} - \frac{k_0}{2\Delta^{\frac{1}{2}}} \bar{v}]^2 - \frac{k_0^2}{4\Delta} \bar{v}^2 \right\} dx +$$

$$+ k_2 \int_{\Gamma_1} \bar{v}^2 ds \geq 0.$$

Stačí tedy, aby

$$(40) \frac{k}{2} \int_{\Omega_0} |\nabla \bar{v}|^2 dx + k_2 \int_{\Gamma_1} \bar{v}^2 ds \geq \frac{k_0^2}{4\Delta} \int_{\Omega_0} \bar{v}^2 dx.$$

Vzhledem k tomu, že funkce  $\bar{v} = 0$  na  $\Gamma_e$ , můžeme ji předpokládat prodlouženou nulou dovnitř otvoru. Ve (4.40) můžeme tedy oblast  $\Omega_0$  nahradit oblastí bez otvoru. Předpokládejme, že  $\tilde{\Omega}_0$  lze rozdělit "podél odlitku" na  $\tilde{\Omega}_0^+$  a  $\tilde{\Omega}_0^-$ .

$$(4.41) \tilde{\Omega}_0^+ = \{(x_1, x_2), 0 < x_1 < a, f_+(x_1) < x_2 < b\}$$

$$\tilde{\Omega}_0^- = \{(x_1, x_2), 0 < x_1 < a, 0 < x_2 < f_-(x_1)\}$$

kde  $f_+, f_-$  jsou spojité na  $[0, a]$ .

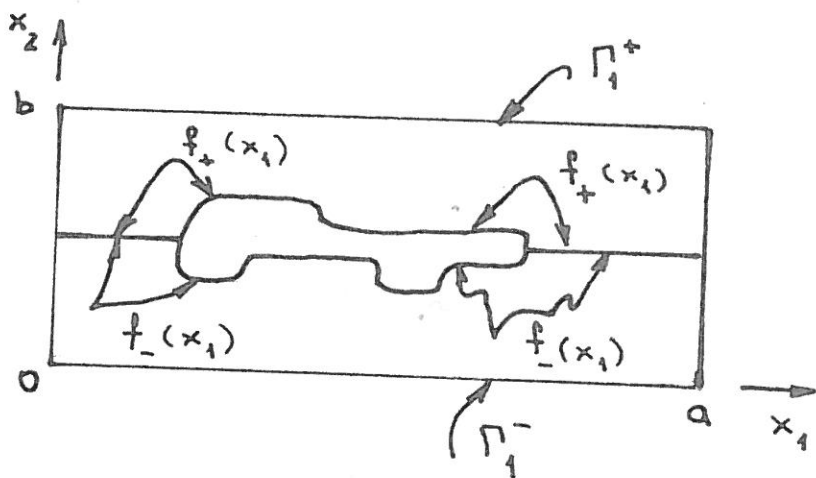
Stačí tedy volit  $k$  tak, aby

$$(4.42) \frac{k}{2} \int_{\tilde{\Omega}_0^{\pm}} |\nabla \tilde{\varphi}|^2 dx + k \alpha \int_{\Gamma_1^{\pm}} \tilde{\varphi}^2 ds \geq \frac{k_0^2}{4\Delta} \int_{\tilde{\Omega}_0^{\pm}} \tilde{\varphi}^2 dx,$$

kde  $\Gamma_1^{\pm}$  jsou vrchní, resp. spodní strana  $\tilde{\Omega}_0$ .

(4.43) Věta. (4.42) je splněno pokud  
 $k = \max \left[ \frac{b^2 k_0^2}{\Delta}, \frac{b k_0^2}{2\Delta \alpha} \right].$

Důkaz: (viz obr. 4.44):



Máme pro  $\tilde{\Omega}_0^-$ :  $\tilde{\varphi}(x_1, x_2) = \tilde{\varphi}(x_1, 0) + \int_0^{x_2} \frac{\partial \tilde{\varphi}}{\partial x_2}(x_1, \eta) d\eta$ , tedy

$$[\tilde{\varphi}(x_1, x_2)]^2 \leq 2 [\tilde{\varphi}^2(x_1, 0) + b \int_0^{x_2} (\frac{\partial \tilde{\varphi}}{\partial x_2}(x_1, \eta))^2 d\eta]$$

tedy

$$(4.44) \int_0^{f(x_1)} \tilde{v}^2(x_1, x_2) dx_2 \leq 2b \tilde{v}^2(x_1, 0) + \\ + 2b^2 \int_0^{f(x_1)} \left( \frac{\partial \tilde{v}}{\partial x_2}(x_1, \eta) \right)^2 d\eta$$

a integrováním (4.44) přes  $x_1 \in (0, d)$

dostaneme

$$(4.45) \int_{\Omega_0^-} \tilde{v}^2 dx \leq 2b \int_{\Gamma_1} \tilde{v}^2(x_1, 0) dx_1 + 2b^2 \int_{\Omega_0^+} |\nabla \tilde{v}|^2 dx ;$$

stačí tedy, aby vzhledem k (4.42) a (4.45) bylo

$$\frac{2\Delta k}{k_0^2} \geq 2b^2, \frac{4\Delta k\alpha}{k_0^2} \geq 2b ; \text{ pro } \tilde{\Omega}_0^+ \quad \text{probíhá}$$

důkaz stejně.

□

5. Závěr

Práce na řešení optimalizace termoelastických systémů pro konstrukční pracoviště k.p. ŠKODA Plzeň byla mřitivována potřebou nalezení optimálního tepelného režimu soustavy forma - kov při licím procesu. Byly odvozeny a ve zprávách popsány teoretické metody řešící roviný model této úlohy. Zároveň byl sestaven algoritmus a odladěny programy pro zkušební výpočet konkrétního rozložení teplot při zadaných okrajových podmínkách. Obdržené výsledky potvrdily vhodnost použití zvolené metody při řešení zadaného problému.

L i t e r a t u r a

---

- /1/ J. Nečas, I.Hlaváček, J.Haslinger: Optimalizace termoelastických systémů. Část I. - Výzkumná zpráva Sz 4380 V, Plzeň 1983  
Část II. - Výzkumná zpráva Sz 4405 V, Plzeň 1984
- /2/ J.Nečas, I.Hlaváček: Úvod do matematické teorie pružných a pružně plastických těles. SNTL Praha 1983.
- /3/ E.J.Hang, B.Rousselet: Design Sensitivity Analysis in Structural Mechanics. II. Eigenvalue variations.  
J.Struct.Mech 8(2), (1980), 161-186
- /4/ Optimalizace termoelastických systémů, část I.,  
Sz 4380 V, Plzeň 1983
- /5/ Optimalizace termoelastických systémů, část II,  
Sz 4405 V, Plzeň 1984
- /6/ O.Pironneau: Optimal shape design for elliptic systems,  
INRIA
- /7/ J.M.Boisserie, R.Glowinski: Optimization of the thickness law for thin axisymmetric shells comput. & structers,  
vol.8, pp.331-343, Rergam.Press 1978